

10025

**Bi₂O₃ - Sb₂O₃ SİSTEMİNİN X - IŞINLARI TOZ DİFRAKSİYON
YÖNTEMİ İLE İNCELENMESİ**

Orhan TÜRKOĞLU

Erciyes Üniversitesi
Fen Bilimleri Enstitüsü'ne
Kimya Anabilim Dalında Yüksek Lisans
Tezi Olarak Sunulmuştur

Eylül - 1990

Erciyes Üniversitesi
Fen Bilimleri Enstitüsü Müdürlüğüne

Bu çalışma, jüriimiz tarafından kimya anabilim dalında yüksek lisans tezi
olarak kabul edilmiştir.

27/9/1990

Başkan : Prof.Dr.Mehmet Doğan..... 

Üye : Doç.Dr.Nevzat Külcü 

Üye : Yrd.Doç.Dr.Mehmet Akkurt 

ONAY

Yukarıdaki imzaların, adı geçen öğretim üyelerine ait olduğunu onaylarım.



ÖZGEÇMİŞ

Adı ve Soyadı : Orhan TÜRKOĞLU

Baba Adı : Yusuf

Ana Adı : AsİYE

1965 yılında Kayseri'de doğdu. İlk, orta ve meslek lisesi öğrenimini Kayseri' de tamamladı. 1988 yılında Ondokuz Mayıs Üniversitesi Eğitim Fakültesi Kimya bölümünü birincilikle bitirdi. Aynı yıl Erciyes Üniversitesi Fen-Edebiyat fakültesince açılan araştırma görevliliği sınavını kazandı. Hâlen aynı görevine devam etmektedir.

TESEKKÜR

Bana bu konuda çalışma fırsatı sağlayan, çalışmalarımın her aşamasında beni değerli düşüncelerle yönlendiren, yakın ilgi ve yardımlarını esirgemeyen, büyük fedakarlıklar göstererek labratuvarıımı kuran değerli hocam Doc.Dr. Nevzat Külcü' ye sonsuz teşekkürlerimi sunarım.

Fakülte olanaklarını sonuna kadar kullanarak bize her konuda yardımcı olan savın Dekanımız Prof.Dr. Mehmet Doğan'ın sahsinda Fen-Edebiyat fakültesi dekanlığına teşekkür ederim.

Yaptıkları maddi ve manevi desteklerinden ötürü Volkswagen Vakfı'nın, Heraeus A.G. Firması'nın Sayın Yöneticilerine ve bu çalışmanın gerçekleştirildiği Katıhal Kimyası Araştırma Laboratuvarı'nın kuruluşunda büyük katkıları olan Sayın Prof. Dr. Martin Trömel'in sahsinda Johann Wolfgang Goethe Üniversitesi Anorganik Kimya Enstitüsü mensuplarına teşekkürlerimi arz etmek isterim.

Ayrıca yardımlarından dolayı Ars.Gör. Nilgün Özpozan'a da teşekkür ederim.

ÖZET

Bu çalışmada Bi_2O_3 ve Sb_2O_3 oksitleri arasındaki ikili sistem araştırılmıştır. Her iki oksitin uygun stokiyometrik oranlardaki karışımlarının 500 ile 1200 $^{\circ}\text{C}$ arasında havada ısıtılması ile önceden varlığı bilinen fazların (BiSbO_4 ve Bi_3SbO_7) yanında aşağıda verilen 23 yeni faz sen-tezlenmiştir:

$\text{Bi}_{8/7}\text{Sb}_{26/21}\text{O}$, $\text{Bi}_{7/6}\text{Sb}_{21/14}\text{O}$, $\text{Bi}_{6/5}\text{Sb}_{14/16}\text{O}$, $\text{Bi}_{5/4}\text{Sb}_{16/12}\text{O}$, $\text{Bi}_{4/3}\text{Sb}_{12/5}\text{O}$, $\text{Bi}_{7/5}\text{Sb}_{22/21}\text{O}$,
 $\text{Bi}_{12/8}\text{Sb}_{35/22}\text{O}$, $\text{Bi}_{8/5}\text{Sb}_{22/14}\text{O}$, $\text{Bi}_{5/3}\text{Sb}_{14/20}\text{O}$, $\text{Bi}_{7/4}\text{Sb}_{20/15}\text{O}$, $\text{Bi}_{2/5}\text{Sb}_{5/4}\text{O}$, $\text{Bi}_{9/4}\text{Sb}_{21/18}\text{O}$,
 $\text{Bi}_{7/3}\text{Sb}_{13/12}\text{O}$, $\text{Bi}_{5/2}\text{Sb}_{12/16}\text{O}$, $\text{Bi}_{16/6}\text{Sb}_{13/37}\text{O}$, $\text{Bi}_{14/4}\text{Sb}_{29/29}\text{O}$, $\text{Bi}_{4/8}\text{Sb}_{29/18}\text{O}$, $\text{Bi}_{9/2}\text{Sb}_{18/31}\text{O}$,
 $\text{Bi}_{5/10}\text{Sb}_{10/11}\text{O}$, $\text{Bi}_{6/11}\text{Sb}_{11/28}\text{O}$, $\text{Bi}_{28/4}\text{Sb}_{4/51}\text{O}$, $\text{Bi}_{8/14}\text{Sb}_{14/18}\text{O}$, $\text{Bi}_{18/2}\text{Sb}_{2/31}\text{O}$.

Bütün bu fazlar kübik sistemde kristalleşmektedirler. İçinde Bi_2O_3 'in mol kesri 0.5 ile 0.7 arasında olan fazlar kübik primitif ve mol kesri 0.7 ile 0.9 arasında olan fazlar ise kübik yüzey merkezli bir birimhücreye sahip-tır.

Toz desenlerinin inđislenmesi sureti ile bütün fazlar röntgenografik olarak karakterize edilmişlerdir.

Zusammenfassung

In dieser Arbeit wurde das binaere System zwischen Bi_2O_3 und Sb_2O_3 untersucht. Durch erhitzen der entsprechenden stochiometrischen Mischungen der beiden Oxide zwischen 500 bis 1200 °C in der Luft wurden neben der schon früher bekannten Phasen (BiSbO_4 und Bi_3SbO_7) wurden folgende 23 neu Phasen präpariert:

$\text{Bi}_8\text{Sb}_7\text{O}_{26}$, $\text{Bi}_7\text{Sb}_6\text{O}_{21}$, $\text{Bi}_6\text{Sb}_5\text{O}_{14}$, $\text{Bi}_5\text{Sb}_4\text{O}_{16}$, $\text{Bi}_4\text{Sb}_3\text{O}_{12}$, $\text{Bi}_7\text{Sb}_5\text{O}_{22}$,
 $\text{Bi}_{12}\text{Sb}_8\text{O}_{35}$, $\text{Bi}_8\text{Sb}_5\text{O}_{22}$, $\text{Bi}_5\text{Sb}_3\text{O}_{14}$, $\text{Bi}_7\text{Sb}_4\text{O}_{20}$, $\text{Bi}_2\text{Sb}_5\text{O}_5$, $\text{Bi}_9\text{Sb}_4\text{O}_{21}$,
 $\text{Bi}_7\text{Sb}_3\text{O}_{13}$, $\text{Bi}_5\text{Sb}_2\text{O}_{12}$, $\text{Bi}_6\text{Sb}_6\text{O}_{37}$, $\text{Bi}_{14}\text{Sb}_4\text{O}_{29}$, $\text{Bi}_4\text{Sb}_8\text{O}_8$, $\text{Bi}_9\text{Sb}_2\text{O}_{18}$,
 $\text{Bi}_5\text{Sb}_10\text{O}_6$, $\text{Bi}_6\text{Sb}_11\text{O}_6$, $\text{Bi}_{28}\text{Sb}_4\text{O}_{51}$, $\text{Bi}_8\text{Sb}_14\text{O}_14$, $\text{Bi}_{18}\text{Sb}_2\text{O}_{31}$.

Alle diese Phasen kristallisieren in kubischen System. Die Phasen, in denen die molbrüche der Bi_2O_3 zwischen 0.5 und 0.7 liegen, haben eine kubisch primitive Elementarzelle; und die Phasen, in denen die molbrüche der Bi_2O_3 zwischen 0.7 und 0.9 liegen, haben eine kubisch flächenzentrierte Elementarzelle.

Durch Indizierung der Pulveraufnahmen wurden alle Phasen röntgenographisch charakterisiert.

SEMBOL VE KISALTMALAR

- a : Birim hücre boyutu [$^{\circ}\text{A}$]
 $^{\circ}\text{A}$: Angström (10^{-10} m)
 CuK_{α} : Bakır K $_{\alpha}$ çizgisi ($\lambda = 1.5406 \text{ } ^{\circ}\text{A}$)
d : Kristal düzlemleri arasındaki uzaklık
 $d_{(\text{düz})}$: Düzeltilmiş d değerleri
 $d_{(\text{hes})}$: Hesaplanmış d değerleri
 $\Delta\theta$: Sıfır noktası düzeltmesi yapılmış yansımaya açıları
G : Gonyometre
I : Yansımaların şiddeti
 I_0 : En büyük yansimanın şiddeti
h, k, l : Miller İndisleri
 λ : Dalga boyu
n : Mol sayısı
s : Sayfa
 θ : Bragg yansımaya açısı
V : Birim hücre hacmi ($^{\circ}\text{A}^3$)

İÇİNDEKİLER

	<u>Sayfa</u>
ONAY	III
ÖZGECMIS.....	iv
TEŞEKKÜR.....	v
ÖZET.....	vi
ZUSAMMENFASSUNG.....	vii
SEMBOL VE KISALTMALAR.....	viii
İÇİNDEKİLER.....	ix
1. GİRİŞ.....	1
2. CALISMA METODLARI VE KULLANILAN ALETLER.....	3
2.1. Çıkış Maddeleri.....	3
2.2. Katıhal Reaksiyonlarının Yürütülmesi.....	3
2.3. Oluşan Fazların Analizi.....	4
2.4. Katı Karışımların Hazırlanması.....	6
3. $\text{Bi}_2\text{O}_3 - \text{Sb}_2\text{O}_3$ SİSTEMİNİN İNCELENMESİ.....	6
3.1. Başlangıç Maddelerinin İncelenmesi.....	6
3.1.1. Sb_2O_3	6
3.1.2. Bi_2O_3	9
3.2. BiSbO_4	14
3.3. Bi_3SbO_7	14
3.4. Bi_4SbO_8	16
3.5. Bi_2SbO_5	18
3.6. $\text{Bi}_5\text{SbO}_{10}$	18
3.7. $\text{Bi}_5\text{Sb}_2\text{O}_{12}$	21

3.8. $\text{Bi}_{5} \text{Sb}_{3} \text{O}_{14}$	21
3.9. $\text{Bi}_{5} \text{Sb}_{4} \text{O}_{6}$	24
3.10. $\text{Bi}_{4} \text{Sb}_{3} \text{O}_{12}$	24
3.11. $\text{Bi}_{7} \text{Sb}_{5} \text{O}_{22}$	27
3.12. $\text{Bi}_{7} \text{Sb}_{4} \text{O}_{20}$	27
3.13. $\text{Bi}_{7} \text{Sb}_{3} \text{O}_{13}$	30
3.14. $\text{Bi}_{28} \text{Sb}_{4} \text{O}_{51}$	30
3.15. $\text{Bi}_{16} \text{Sb}_{6} \text{O}_{37}$	33
3.16. $\text{Bi}_{9} \text{Sb}_{2} \text{O}_{8}$	33
3.17. $\text{Bi}_{6} \text{Sb}_{5} \text{O}_{14}$	36
3.18. $\text{Bi}_{18} \text{Sb}_{2} \text{O}_{31}$	36
3.19. $\text{Bi}_{12} \text{Sb}_{8} \text{O}_{35}$	39
3.20. $\text{Bi}_8 \text{SbO}_{14}$	39
3.21. $\text{Bi}_6 \text{SbO}_{11}$	42
3.22. $\text{Bi}_9 \text{Sb}_4 \text{O}_{21}$	42
3.23. $\text{Bi}_8 \text{Sb}_5 \text{O}_{22}$	45
3.24. $\text{Bi}_8 \text{Sb}_7 \text{O}_{26}$	45
3.25. $\text{Bi}_7 \text{Sb}_6 \text{O}_{21}$	48
3.26. $\text{Bi}_{14} \text{Sb}_4 \text{O}_{29}$	48
4. SONUCLARIN DEGERLENDIRILMESI VE TARTISILMASI....	52
SEKİLLER.....	57
KAYNAKLAR.....	76

1. GİRİŞ

Yapılan literatür taramasında Bi_2O_3 - Sb_2O_3 sistemiyle ilgili oldukça çok çalışma olduğu tesbit edildi.

Sistem ile ilgili ilk çalışma 1968 yılında Lazukin ve çalışma grubu tarafından yapılmış ve Sb_2O_4 ile BiSbO_4 fazlarını elde etmişlerdir [1].

K.Ohdan ve arkadaşları SbCl_3 ve $\text{Bi}(\text{NO}_3)_3$ karışımını $540-700^\circ\text{C}$ de 16 saatlik bir reaksiyona tabi tutarak BiSbO_4 ve Bi_3SbO_7 fazlarını elde etmişlerdir [2].

S. Ito ve arkadaşları Bi_2O_3 - Sb_2O_3 karışımını $900-1200^\circ\text{C}$ de 320 dakika Tamman tüpünde tutarak BiSbO_4 tek kristalini elde etmiş ve bilesigün kristal yapısını tayin etmişlerdir [3].

N.V. Stolchev ve arkadaşları ise yapmış oldukları çalışmada $\text{BiSbO}_4 \cdot 5\text{H}_2\text{O}$ ve BiSbO_4 bilesiklerini elde etmişlerdir [4].

L.A. Ivanova ve arkadaşları Sb_2O_4 ve BiSbO_4 fazlarını sentezleyerek, bunların ferroelektrik özelliklerini araştırmışlardır [5].

V.B. Cherogorenko ve arkadaşları Bi_2O_3 - Sb_2O_3 sistemine alt faz diyagramı üzerinde çalışarak, Bi_3SbO_7 , BiSb_3O_7 ve BiSb_2O_3 bilesiklerini elde etmişlerdir [6].

M.Witold ise BiSbO_3 fazını sentezlemiştir [10].

T. Abdelmjid ve arkadaşları gerçekleştirdikleri katıhal reaksiyonları sonunda BiSb_3O_8 , Bi_3SbO_7 fazlarını elde etmişler, ayrıca x' in ($0 \leq x \leq 1$) değerleri için stokiyometrik olan $\text{Bi}_{1-x}\text{Sb}_x\text{SbO}_4$ fazlarını, x' in farklı ($0.01 \leq x \leq 0.035$) ve ($0.045 \leq x \leq 0.055$) değerleri için de stokiyometrik olmayan, $\text{Bi}_{1-x}\text{Sb}_x\text{SbO}_{1.5+x}$ katı çözeltilerini sentezlemiştir [7].

M.Manier ve arkadaşları Bi_3SbO_7 ve BSbO_4 fazlarını x -ışınları toz difrak-

tometresi ile yaptıkları çalışmalar neticesinde bulmuşlar ve bunların değişik sıcaklıklardaki dielektrik özelliklerini araştırmışlardır [8].

V.I. Popolitov ve G.F. Plakhov BiSbO_4 fazını elde edip, bunların 360-575 °C arasındaki dielektrik ve antiferrolektrik özelliklerini araştırmışlardır [9].

H. Kagawa ise öncekilerin aksine katıhal reaksiyonu yerine sulu çözelti ortamında çalışarak $\text{BiSbO}_{4.5}\text{H}_2\text{O}$ fazını elde etmiştir[11].

Bu çalışmada ise yukarıda belirtilen ve daha önce bilinen fazlar yeniden sentezlenmeye çalışıldı. Sentez çalışmaları sırasında daha önce uygulanan deneysel koşulların yanında daha değişik koşullarda da aynı fazların elde edilip edilemediği araştırıldı.

Sistem içerisinde önceden bilinen fazların yanında henüz bilinmeyen yeni fazların varlıkları da araştırılarak, bunların hangi koşullarda saf olarak elde edilebilecekleri tespit edilmeye çalışıldı.

Elektronik ve kimya sanayiinde ilginc kullanım alanlarına sahip olan ve bu sistem içerisinde karşılaşılan bilinen ve yeni sentezlenecek fazların tanı çalışmaları yanında kristallografik özellikleri de x-ışınları toz diffraksiyon yöntemi ile gerçekleştirildi.

Çalışmanın sonuçlanması ile bilim dünyasına yeni fazlar kazandırılmayı ve kazandırılacak bu fazlardan ilginc fiziksel özelliği olanların yardımı ile endüstriye de bir katkıda bulunabileceğini umut etmektediriz.

2. Çalışma Metodları ve Kullanılan Aletler

2.1. Başlangıç Maddeleri

Antimonrioksit

Çalışmada analitik saflığı %99.9 (Merck) olan antimonrioksit kullanıldı.

Sb_2O_3 (ya da Sb_4O_6) $656^{\circ}C$ 'de erimekte ve $1550^{\circ}C$ 'de süblimleşmektedir [12].

Saf antimonrioksitin x-ışınları toz diffraktometresi ile toz deseni çekildi.

Desenin değerlendirilmesi sonucunda Sb_2O_3 için ölçümlerin literatürde verilen değerlere uyduğu görüldü [13]. Bu değerlendirmeler sonucunda eldeki maddenin tek bir fazdan ibaret olduğu anlaşıldı.

Oksitlenme ve faz dönüşümü kontrolleri için saf antimonrioksit çalışılan sıcaklıklarda fırınlandı ve x-ışınları toz diffraktometresi ile toz deseni alındı (s. 60).

Bızmutrioksit

%99.9 saflıkta bızmutrioksit (Merck) kullanıldı. Erime noktası $825 \pm 3^{\circ}C$ ve kaynama noktası $1890^{\circ}C$ 'dir [14].

Saf Bi_2O_3 'in toz deseni çekildi. Toz deseninin değerlendirilmesi sonucunda değerlerin literatürde verilen değerlere uyduğu görüldü [15]. Buradan da kullanılan bızmutrioksitin tek bir faz olduğu tespit edilmiş oldu. Yine çalışılan sıcaklıklarda oksitlenme ve faz dönüşümlerini kontrol için saf bızmutrioksit fırınlanıp toz deseni çekildi (s. 61).

2.2. Alet ve Ölçüm Düzeni

Başlangıç maddeleri önce $125^{\circ}C$ 'de Nüve marka FN-400 model etüvde

kurutulduktan sonra yine Nüve marka MF-120 ve MF-140 model kül fırınlarında katıhal reaksiyonlarına tabi tutuldu. 1000°C 'nın altındaki reaksiyonlar için MF-120 ve üzerindeki reaksiyonlar için de MF-140 model fırın kullanıldı. Fırın sıcaklıklarını ise Pt-Pt / Rh termokapılı kullanılarak kontrol edildi. Kontrol ölçümleri sonucunda fırın sıcaklıklarının $\pm 10^{\circ}\text{C}$ 'lık bir sapma ile doğru olduğu tespit edildi. Değişik mol oranlarında hazırlanan karışımalar (bkz. karışımaların hazırlanması, bölüm 2.4.) 1-2 gramlık miktarlarda altın veya platin kayıkcıklarda katıhal reaksiyonlarına tabi tutuldu. 1000°C 'nın üzerindeki sıcaklıklarda platin altındaki sıcaklıklarda ise altın kayıkcıklar kullanıldı. Fırınlamalardan sonraki kütle artışları ve kayıpları ise sürekli tartımlar yapılarak kontrol edildi. Fırınlanan karışımalar içinde CaCl_2 bulunan desikatörlerde muhafaza edildi.

2.3. Oluşan Fazların Analizi

Reaksiyon ürünlerinin faz analizleri x-ışınları toz difraksiyon yöntemi ile yapılmıştır. Kullanılan difraktometre sisteminin ünitelerini gösteren bir şema şekil 2.1'de görülmektedir(s. 58).

Sistemde kullanılan x-ışınları jeneratörü Philips marka PW-1010 model olup 20 - 50 kV ve 6 -50 mA aralığında kullanılabilmektedir. Jeneratör bir adet Cu-tüpü ile donatılmış olup bütün çalışmada bu tüp kullanılmıştır. CuK_{β} ışınları biri tüp penceresi önüne monte edilmiş ve diğer dedektör penceresinin önüne takılan Ni filtreler ile elime edilmiştir. Böylece çalışmanın CuK_{α_1} ışını ($\lambda = 1.5406^{\circ}\text{A}$) ile yapılması sağlanmıştır.

Goniometre ünitesi ise Siemens marka F modelidir. Goniometrenin bir se-

ması sekil 2.2.'de görülmektedir (s. 59). X-ışınlarının odaklanması metodu Bragg-Brentano geometrisini esas almaktadır. Ayırma gücünü artırmak ve zemin ışımاسının miktarını azaltmak için gelen (birincil) ışınlar ve yansıyan (ikincil) ışınlar birer slitten geçirilerek paralel ışın demetleri ile çalışma imkanı sağlanmıştır. Goniometrenin dönüş hareketleri otomatik olarak bilgisayar ile kontrol edilmektedir.

Sayıci (dedektör) olarak Wenzel Elektronik marka bırsintilasyon sayacı kullanılmıştır. Bu sayıci örnekten yansıyan ışınları elektrik sinyallerine çevirmektedir.

Ratemeter ve Yükseltici (Amplifikatör) üniteleri sayıcidan gelen elektrik sinyallerini işlemek , yabancı sinyalleri süzmek ve esas sinyalleri yükseltmek için kullanılmıştır. Her iki ünite sayıciyi besleyen bir güç kaynağı üzerine monte edilmiştir. Bu üniteler de yine Wenzel Elektronik markadır. Yükselticiden çıkan sinyaller bilgisayar ünitesine göndertilerek digitalleştirilmektedir.

Stepmotor ise motor kontrol cihazından gelen elektronik sinyallere göre difraktometrenin hareket etmesini sağlamaktadır.

Commodore 64 bilgisayarı iki amaç ile kullanılmıştır: Birincisi bir program çerçevesinde motorkontrol ünitesine uygun sinyalleri göndererek stepmotoru ve dolaylı olarak da difraktometreyi çalıştmak; ikincisi ise yükselticiden gelen elektrik sinyallerini digitalleştirerek sayısal şekle dönüştürmektedir.

Sekil 2.1.'de görülen Atari marka bilgisayar , hem ölçüm sonuçlarını değerlendirmek hem de dökümantasyon amacı ile kullanılmıştır.

2.4. Katı Karışımının Hazırlanması

Karışımı hazırlamak için kullanılan Bi_2O_3 ve Sb_2O_3 maddeleri etüvde kurutuldular. Değişik mol oranlarına karşılık gelen stokiyometrik miktarlardaki maddeler tartılıp, achat havanda öğütülerek homojen olarak karışmaları sağlandı. Katı hal reaksiyonları bu stok karışımından yola çıkarak gerçekleştirildi. Hazırlanan karışımın listesi sayfa 7 ve 8'de bulunan tablolarda verilmiştir.

3. Bi_2O_3 - Sb_2O_3 Sisteminin İncelenmesi

Sistem ile ilgili çalışmalarla başlangıç maddelerinin x-ray toz desenleri çekilecek başlandı. Yapılan çalışmalar neticesinde şu fazlar elde edildi:

BiSbO_4 , $\text{Bi}_8\text{Sb}_7\text{O}_{26}$, $\text{Bi}_7\text{Sb}_6\text{O}_{21}$, $\text{Bi}_6\text{Sb}_5\text{O}_{14}$, $\text{Bi}_5\text{Sb}_4\text{O}_{16}$, $\text{Bi}_4\text{Sb}_3\text{O}_{12}$,
 $\text{Bi}_7\text{Sb}_5\text{O}_{22}$, $\text{Bi}_{12}\text{Sb}_8\text{O}_{35}$, $\text{Bi}_8\text{Sb}_5\text{O}_{22}$, $\text{Bi}_5\text{Sb}_3\text{O}_{14}$, $\text{Bi}_7\text{Sb}_4\text{O}_{20}$, $\text{Bi}_2\text{Sb}_5\text{O}_7$,
 $\text{Bi}_9\text{Sb}_4\text{O}_{21}$, $\text{Bi}_7\text{Sb}_3\text{O}_{13}$, $\text{Bi}_5\text{Sb}_2\text{O}_{12}$, $\text{Bi}_{16}\text{Sb}_6\text{O}_{37}$, $\text{Bi}_3\text{Sb}_7\text{O}_3$, $\text{Bi}_{14}\text{Sb}_4\text{O}_{29}$,
 $\text{Bi}_4\text{Sb}_8\text{O}_9$, $\text{Bi}_9\text{Sb}_2\text{O}_{18}$, $\text{Bi}_5\text{SbO}_{10}$, $\text{Bi}_6\text{SbO}_{11}$, $\text{Bi}_{28}\text{Sb}_4\text{O}_{51}$, $\text{Bi}_8\text{SbO}_{14}$,
 $\text{Bi}_{18}\text{Sb}_2\text{O}_{31}$

Bu fazlardan BiSbO_4 , Bi_3SbO_7 fazları literatürde var olmalarına karşın diğer fazlar bu çalışmada elde edildiler.

3.1. Başlangıç Maddelerinin İncelenmesi

3.1.1. Sb_2O_3

Saf antimonriksit etüvde kurutulduktan sonra toz deseni çekildi.

Toz deseni üzerindeki reflekslerin yerleri bilgisayar kontrolü ile tespit

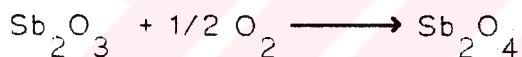
Karışım no	$n_{Bi_2O_3} / n_{Sb_2O_3}$	Bi_2O_3 ' in mol kesri	Bi_2O_3 ' in Kütle kesri
1	1:9	0.1	0.1508
2	1:8	0.1111	0.1665
3	1:7	0.125	0.1859
4	1:6	0.1429	0.2104
5	1:5	0.1666	0.2423
6	2:9	0.1818	0.2621
7	2:8	0.2	0.2855
8	2:7	0.2222	0.3135
9	1:3	0.25	0.3476
10	3:8	0.2727	0.3748
11	3:7	0.3	0.4066
12	4:9	0.3077	0.5847
13	1:2	0.3333	0.4442
14	5:9	0.3571	0.4704
15	4:7	0.3636	0.4734
16	3:5	0.375	0.4896
17	5:8	0.3846	0.4998
18	2:3	0.4	0.5159
19	5:7	0.4167	0.5331
20	3:4	0.4286	0.5452
21	7:9	0.4375	0.5542
22	4:5	0.4444	0.5612
23	5:6	0.4545	0.5712
24	6:7	0.4615	0.5781

Karışım no	$n_{\text{Bi}_2\text{O}_3} / n_{\text{Sb}_2\text{O}_3}$	Bi_2O_3 'in mol kesri	Bi_2O_3 'in kütle kesri
26	8:9	0.4706	0.5869
27	5:5	0.5	0.6152
28	8:7	0.5333	0.6462
29	7:6	0.5384	0.6509
30	6:5	0.5454	0.6573
31	5:4	0.5555	0.6665
32	7:5	0.5833	0.6912
33	6:4	0.6	0.7057
34	8:5	0.6153	0.7189
35	5:3	0.625	0.7271
36	7:4	0.6363	0.7367
37	9:5	0.6429	0.7421
38	2:1	0.6666	0.7617
39	9:4	0.6923	0.7824
40	7:3	0.7	0.7886
41	5:2	0.7143	0.7998
42	8:3	0.7272	0.8099
43	3:1	0.75	0.8275
44	7:2	0.7777	0.8484
45	8:2	0.8	0.8648
46	9:2	0.8181	0.8779
47	5:1	0.8333	0.8888
48	6:1	0.8571	0.9056
49	7:1	0.875	0.9180
50	8:1	0.8888	0.9275
51	9:1	0.9	0.935

edildi.Saf antimonrioksitin ölçülen toz deseni şekil 3.1'de görülmektedir (s. 60). Sayfa 10'da ki tabloda ise Sb_2O_3 için ölçülen değerleri verilmiştir. Bu sonuçların literatürde verilen değerle karşılaştırılmasıyla Sb_2O_3 'in bir faz olduğu tespit edilmiştir.

Sb_2O_3 650 ve 750 °C'de 4 saat fırınlandı.Fırınlamalardan sonra maddelerde kütte artışlarının olduğu kesin olarak gözlendi.Fırınlamalardan sonra yapılan ölçümelerle ilgili toz desenleri şekil 3.2 ve 3.3'de görülmektedir (s. 60 ve 61). Ölçümler sonucunda elde edilen değerler tablo 3.2. ve 3.3.'de (s. 11) verilmiştir.

Yapılan değerlendirmelerin sonuçları Sb_2O_3 'in değişim ugradığını gösterdi.Degerlerin literatürde [15] verilen değerlere uyduğu görüldü.Burada tespit edilen kütte artışı Sb_2O_3 'in aşağıdaki reaksiyona uygun olarak oksitlendiğini göstermektedir:



Ürünün ölçülen toz deseni verileri de bunu doğrulamaktadır. Sb_2O_3 'ün tamamı çalışılan sıcaklıklarda Sb_2O_4 'e dönüşmektedir.

3.1.2. Bi_2O_3

Etüvde kurutulmuş olan saf bismutrioksitin toz deseni çekildi.Elde edilen toz deseni şekil 3.4' de görülmektedir (s. 61). Toz deseninden elde edilen veriler sayfa 12' deki tabloda verilmiştir.

Antimonrioksitte olduğu gibi bismutrioksit de 650 ve 750 °C'de 4 saat fırınlandı.Fırınlamalar sonucundaki kütte değişimlerinin ihmali edilebilecek düzeyde olduğu görüldü. Tablo 3.5. ve 3.6.'da (s. 13) ölçümlerden elde edilen değerler yer almaktadır.

Tablo-3.1. Saf Antimonrioksitin ölçümünden elde edilen değerler

Numara	$\frac{1}{V}$ o	θ	d [$^{\circ}$ A]
1	12.7	6.8696	6.44
2	100.0	13.8407	3.22
3	34.4	16.0271	2.79
4	8.2	17.5115	2.56
5	35.3	23.0176	1.97
6	35.2	27.2911	1.68
7	9.6	28.5840	1.61
8	11.7	36.9986	1.28
9	1.6	39.2296	1.218
10	5.0	42.7824	1.1341

Tablo 3.2. 650 °C'de Sb₂O₃'in ölçümünden elde edilen değerler

Numara	I/I ₀	θ	d [Å]
1	28.1	12.9014	3.45
2	100.0	14.5314	3.07
3	27.4	15.1891	2.94
4	23.0	16.8986	2.65
5	21.4	18.7208	2.40
6	14.8	24.4651	1.86
7	14.2	25.6423	1.78
8	32.6	26.605	1.72

Tablo 3.3. 750 °C'de Sb₂O₃'in ölçümünden elde edilen değerler

Numara	I/I ₀	θ	d [Å]
1	31.6	12.9014	3.45
2	100.0	14.5314	3.07
3	34.0	15.1891	2.94
4	23.4	16.8986	2.65
5	21.1	18.7208	2.4
6	17.1	24.4651	1.86
7	15.5	25.6423	1.78
8	25.9	26.6051	1.72

Tablo 3.4. Saf Bi_2O_3 'In ölçümünden elde edilen değerler

Numara	I/I_0	ϕ	d_{o}° [A]
1	100.0	13.9735	3.19
2	32.3	16.3901	2.73
3	12.6	23.1432	1.96
4	2.2	23.5244	1.93
5	16.2	27.1163	1.69
6	8.0	27.8314	1.65
7	12.3	28.9779	1.59
8	8.2	35.9233	1.313
9	3.7	37.3416	1.27

Tablo 3.5. 650°C de fırınlanmış Bi_2O_3 'un ölçüm değerleri

Numara	I/I_0	δ	d [\AA]
1	100.0	13.9735	3.19
2	33.8	16.3901	2.73
3	2.0	23.1432	1.96
4	1.6	23.5244	1.93
5	15.4	27.1163	1.69
6	18.4	27.8314	1.65
7	6.8	28.9779	1.59
8	6.7	35.9233	1.313
9	1.9	37.3416	1.27

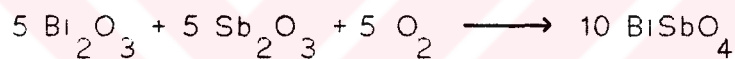
Tablo 3.6. 750°C de fırınlanmış Bi_2O_3 'un ölçüm değerleri

Numara	I/I_0	δ	d [\AA]
1	100.0	13.9735	3.19
2	51.5	16.3901	2.73
3	11.4	23.1432	1.96
4	21.4	23.5244	1.93
5	22.1	27.1163	1.69
6	20.5	27.8314	1.65
7	15.9	28.9779	1.59
8	9.0	35.9233	1.313
9	4.8	37.3416	1.27

Bismutrioksitin fırınlanmasıından sonra elde edilen toz desenleri ise şekil 3.4 ve 3.5'de (s. 62) görülmektedir.

3.2. BiSbO_4

BiSbO_4 fazı, $5\text{Bi}_2\text{O}_3 : 5\text{Sb}_2\text{O}_3$ stokiyometrisine uyan karışımın 650°C de 6 saat süre ile fırınlanması sonucunda elde edildi. Daha yüksek sıcaklıklarda ise oluşan fazın kaybolduğu görüldü. Diğer taraftan 650°C 'de fırınlama süresinin artırılması da oluşan fazın bozulmasına yol açmaktadır. Reaksiyon sonucunda tespit edilen kütle artışı 5 mol-gram O_2 'e karşı gelmektedir. Bu artışın dikkate alınması halinde oluşan fazın aşağıdaki reaksiyon denkleminde belirtildiği gibi BiSbO_4 formülüne sahip olması gereklidir:



Elde edilen fazın x-ışınları toz deseni çizgi diyagramı şekil 3.7.'de görülmektedir (s. 63). X-ışınları toz deseni verileri ve İndisleme sonucunda elde edilen değerler tablo 3.7.'de (s. 15) görülmektedir. Buradan bu fazın kübik sistemde kristallendiği anlaşılmaktadır.

Daha önce literatürde [1-8] varlığından bahsedilen bu faz için hiç bir kaynacta bu faza ait toz deseni verilmemişinden, literatür ile herhangi bir karşılaştırma yapılamadı.

3.3. Bi_3SbO_7

$3\text{Bi}_2\text{O}_3 : 1\text{Sb}_2\text{O}_3$ stokiyometrisine uyan karışımın 750°C de 5 saat süreyle fırınlanması sonucunda Bi_3SbO_7 fazı elde edildi. Oluşan faz ise yaklaşık 850°C 'de niteligi bilinmeyen ürünler vererek bozunmaktadır. Reaksiyon sonunda tespit edilen kütle artışı 1 mol-gram O_2 'e

Tablo 3.7. BiSbO₄ fazının x-ışınları toz desenleri verileri ve
birim hücre parametreleri

$ I ^\circ$	h	k	l	d (düz) [\AA]	d (hes) [\AA]
100.0	2	2	2	3.1257	3.1257
14.0	3	2	1	2.8939	2.8938
34.9	4	0	0	2.7069	2.7069
7.6	4	2	0	2.4211	2.4211
22.6	4	4	0	1.9141	1.9141
5.9	6	0	0	1.8046	1.8046
24.0	5	4	1	1.6707	1.6707
4.4	8	0	0	1.3535	1.3535
7.9	6	6	2	1.2420	1.2420
4.6	8	4	0	1.2106	1.2106
2.1	7	6	3	1.1168	1.1168

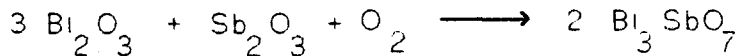
θ için sıfır noktası düzeltmesi: $\Delta\theta = (2.3 \pm 1.3) \cdot 10^{-4}$

Birim hücre parametreleri:

$$a = 10.8276 \pm 4.0 \cdot 10^{-5} \text{\AA}$$

$$V = 1269.424 \text{ \AA}^3$$

denk gelmektedir. Buradan reaksiyon denklemi:



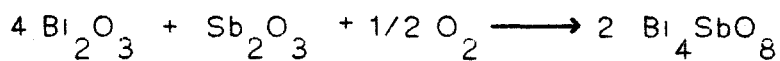
olarak yazılabilmektedir.

Bi_3SbO_7 fazının x-ışınları toz difraktometresiyle ölçümlerinden elde edilen sonuçlar tablo 3.8.'de (s. 17) yer almaktadır. İndesleme çalışmaları sonucunda oluşan fazın kübik yüzey merkezli olarak kristallendiği anlaşıldı. Ölçülen toz deseni şekil 3.8'de (s.63) ve değerlendirmeye sonuçları da tablo 3.8'de görülmektedir. Daha önceki çalışmada [6.7] her ne kadar bu fazın varlığından bahsediliyorsa da hiç bir kaynakta bu faza ait toz deseni verilmemektedir. Bu nedenle de literatür değerleri ile karşılaştırma yapılamamıştır.

3.4. Bi_4SbO_8

Bu faz $4 \text{Bi}_2\text{O}_3 : 1 \text{Sb}_2\text{O}_3$ oranının 750°C 'de 4 saat ısıtıması sonucunda elde edildi. 750°C 'nın altındaki sıcaklıklarda bu faz saf olarak elde edilememekte ve bilinmeyen yabancı fazlarla birlikte oluşmaktadır. Saf olarak elde edilen bu faz 750°C 'nın üzerindeki sıcaklıklarda bilinmeyen bir faza veya fazlara dönüsmektedir.

Reaksiyon sonunda tespit edilen kütle artışı 0.5 mol-gram O_2 'e karşı gelmektedir. Buna göre oluşan fazın aşağıdaki kimyasal denklemeye uygun olarak Bi_4SbO_8 şeklinde olması gerekmektedir:



Tablo 3.8. Bi_3SbO_7 fazının x-ışınları toz desenleri verileri ve birim hücre parametreleri

I/I_0	h	k	l	d (düz) [\AA]	d (hes) [\AA]
100.0	1	1	1	3.1094	3.1093
38.4	2	0	0	2.6928	2.6928
36.6	2	2	0	1.9041	1.9041
34.4	3	1	1	1.6238	1.6238
4.8	2	2	2	1.5546	1.5547
3.8	4	0	0	1.3464	1.3464
5.6	3	3	1	1.2355	1.2355
3.3	4	2	0	1.2043	1.2042
3.2	4	2	2	1.0993	1.0993

θ için sıfır noktası düzeltmesi: $\Delta\theta = (-1.07 \pm 2.25) \cdot 10^{-3}$

Birim hücre parametreleri:

$$a = 5.3855 \pm 2.9 \cdot 10^{-4}$$

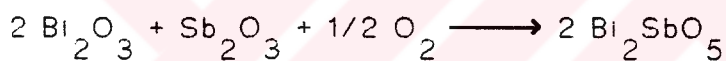
$$V = 156.201 \text{ } \text{\AA}^3$$

Oluşan fazın ölçülen toz deseni şekil 3.9'da (s. 64) ve bu desenin değerlendirilmesi ile elde edilen toz desen verileri de tablo 3.9'da (s. 19) görülmektedir. Buna göre faz kübik yüzey merkezli sistemde kristalleşmektedir.

3.5. Bi_2SbO_5

$2 \text{Bi}_2\text{O}_3 : 1 \text{Sb}_2\text{O}_3$ karışımının 750°C de 5 saat fırınlanması sonucunda Bi_2SbO_5 fazı elde edildi. Elde edilen bu faz 850°C civarında bilmeyen faz veya fazlara dönüşerek bozunmaktadır.

Katıhal reaksiyonu sonucunda meydana gelen kütle artışı 0.5 mol-gram O_2 e karşılık gelmektedir. Buradan kimyasal reaksiyonun

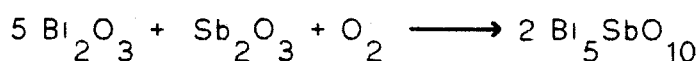


şeklinde olması gerektiği anlaşılmaktadır.

Elde edilen ürüne ait toz deseni şekil 3.10'da (s.64) ve bu desenin değerlendirilmesi ile elde edilen sonuçlar da tablo 3.10'da (s. 20) görülmektedir. Bu faz ise kübik sistemde kristalleşmektedir.

3.6. $\text{Bi}_5\text{SbO}_{10}$

$5 \text{Bi}_2\text{O}_3 : 1 \text{Sb}_2\text{O}_3$ oranına karşılık gelen karışımın $700-750^{\circ}\text{C}$ de katıhal reaksiyonuna tabi tutulması neticesinde $\text{Bi}_5\text{SbO}_{10}$ fazı elde edildi. Reaksiyon sonucunda meydana gelen kütle artışı 1 mol-gram O_2 e karşılık gelmektedir. Buna göre meydana gelen kimyasal reaksiyon denklemi şu şekilde verilebilir:



Tablo 3.9 Bi_4SbO_8 fazının x-ışınları toz desenleri verileri ve birim hücre parametreleri

$ I ^\circ$	h	k	l	d (düz) [\AA]	d (hes) [\AA]
100.0	1	1	1	3.1211	3.1211
39.8	2	0	0	2.7029	2.7029
36.9	2	2	0	1.9113	1.9112
32.7	3	1	1	1.6299	1.6299
6.1	2	2	2	1.5605	1.5605
2.5	4	0	0	1.3515	1.3515
5.3	3	3	1	1.2402	1.2402
4.4	4	2	0	1.2088	1.2088
3.1	4	2	2	1.1035	1.1035

θ için sıfır noktası düzeltmesi: $\Delta\theta = (-3.9 \pm 2.8) \cdot 10^{-4}$

Birim hücre parametreleri:

$$a = 5.4058 \pm 4.10^{-5} \text{\AA}$$

$$V = 157.974 \text{\AA}^3$$

Tablo 3.10. Bi_2SbO_5 fazının x-ışınları toz desenleri verileri ve birim hücre parametreleri

$I/I_0 \%$	h	k	l	d	d
				(düz) [\AA°]	(hes) [\AA°]
100.0	2	2	2	3.1154	3.1148
4.7	3	2	1	2.8842	2.8837
35.1	4	0	0	2.6978	2.6975
4.5	4	2	0	2.4129	2.4127
36.8	4	4	0	1.9074	1.9074
2.7	6	0	0	1.7963	1.7983
35.7	6	2	2	1.6265	1.6266
7.5	4	4	4	1.5571	1.5574
4.7	8	0	0	1.3503	1.3487
11.5	6	6	2	1.2375	1.2377
7.8	8	4	0	1.2062	1.2063
4.6	8	4	4	1.1011	1.1012

θ için sıfır noktası düzeltmesi: $\Delta\theta = (-6.80 \pm 18.01) \cdot 10^{-3}$

Birim hücre parametreleri:

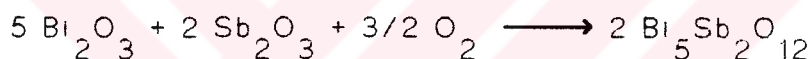
$$a = 10.7898 \pm 5.03 \cdot 10^{-3} \text{\AA}^\circ$$

$$V = 1256.158 \text{\AA}^3$$

$\text{Bi}_{5}\text{Sb}_{10}\text{O}_{10}$ fazının ölçülen toz deseni şekil 3.11'de (s. 65) ve toz deseninin değerlendirilmiş sonuçları da tablo 3.11'de (s. 22) görülmektedir. Bu na göre bu faz kübik yüzey merkezli bir hücreye sahiptir.

3.7. $\text{Bi}_{5}\text{Sb}_{2}\text{O}_{12}$

$5\text{ Bi}_{2}\text{O}_3 : 2\text{ Sb}_{2}\text{O}_3$ karışımının 750°C 'de 4 saat katıhal reaksiyonuna tabi tutulması neticesinde $\text{Bi}_{5}\text{Sb}_{2}\text{O}_{12}$ fazı elde edildi. Reaksiyon sonunda bulunan kütle artışı 1.5 mol-gram O_2 'e karşılık gelmektedir. Kütle artısını da dikkate alarak meydana gelen reaksiyonun denklemi aşağıdaki gibi yazılabilir:



Elde edilen reaksiyon ürününün ölçülen toz deseni şekil 3.12'de (s. 65) ve bu desenin değerlendirilmesi ile elde edilen sonuçları ise tablo 3.12'de görülmektedir (s. 23). Buna göre elde edilen faz kübik yüzey merkezli sisteme kristalleşmektedir.

3.8. $\text{Bi}_{5}\text{Sb}_{3}\text{O}_{14}$

$5\text{ Bi}_{2}\text{O}_3 : 3\text{ Sb}_{2}\text{O}_3$ stokiyometrik oranına karşılık gelen karışımın 750°C de 5-6 saat fırınlanması neticesinde $\text{Bi}_{5}\text{Sb}_{3}\text{O}_{14}$ fazı elde edildi. Reaksiyon 650°C de henüz tamamlanmamaktadır ve kısmen gerçekleşebilmektedir. 850°C ve daha yukarıındaki sıcaklıklarda oluşan faz niteliği henüz bilinmeyen faz veya fazlara dönüşmektedir. Reaksiyon sonunda meydana gelen kütle artışı ise 2 mol-gram O_2 'e karşılık gelmektedir. Buna göre reaksiyon denklemi aşağıdaki şekilde olması gereklidir:

Tablo 3.11. $\text{Bi}_5\text{SbO}_{10}$ fazının x-ışınları toz desenleri verileri ve birim hücre parametreleri

$ I ^\circ$	h	k	l	d (düz) [\AA]	d (hes) [\AA]
100.0	1	1	1	3.1059	3.1063
38.4	2	0	0	2.6904	2.6901
35.1	2	2	0	1.9018	1.9022
30.0	3	1	1	1.6222	1.6222
4.9	2	2	2	1.5535	1.5531
6.1	4	0	0	1.3451	1.3451
7.4	3	3	1	1.2343	1.2343
6.3	4	2	0	1.2030	1.2031
3.8	4	2	2	1.0983	1.0982

θ için sıfır noktası düzeltmesi: $\Delta\theta = (4.42 \pm 4.05) \cdot 10^{-3}$

Birim hücre parametreleri:

$$a = 5.38025 \pm 5.3 \cdot 10^{-4} \text{\AA}$$

$$V = 155.743 \text{\AA}^3$$

Tablo 3.12. $\text{Bi}_5\text{Sb}_2\text{O}_{12}$ fazının x-ışınları toz deseni verileri ve
birim hücre parametreleri

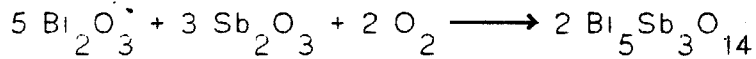
$[\text{l}]^{\circ}$	h	k	l	d (düz) $[\text{\AA}]$	d (hes) $[\text{\AA}]$
100.0	1	1	1	3.1021	3.1021
37.8	2	0	0	2.6865	2.6865
37.3	2	2	0	1.8997	1.8997
35.0	3	1	1	1.6200	1.6200
4.7	2	2	2	1.5511	1.5511
6.2	4	0	0	1.3433	1.3433
8.7	3	3	1	1.2327	1.2327
7.1	4	2	0	1.2014	1.2014
4.5	4	2	2	1.0968	1.0968

θ için sıfır noktası düzeltmesi: $\Delta\theta = (-1.0 \pm 4.0) \cdot 10^{-5}$

Birim hücre parametreleri:

$$a = 5.3730 \pm 0.0 \text{ \AA}$$

$$V = 155.116 \text{ \AA}^3$$

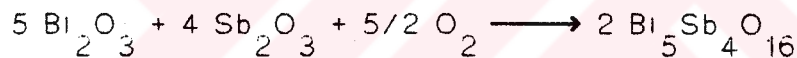


$\text{Bi}_{5}\text{Sb}_3\text{O}_{14}$ fazı için elde edilen toz deseni şekil 3.13'de (s. 66) görülmektedir.

Bu toz deseninin değerlendirilmesi ile varılan sonuçlar tablo 3.13'de görülmektedir (s. 25). Bu faz kübik primitif bir hücreye sahip olarak kristalleşmektedir.

3.9. $\text{Bi}_{5}\text{Sb}_4\text{O}_{16}$

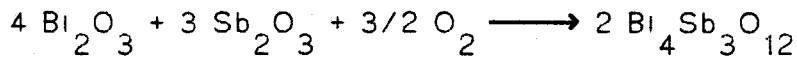
$5 \text{Bi}_{2}\text{O}_3 : 4 \text{Sb}_{2}\text{O}_3$ karışımının 750°C 'de 4-5 saat fırınlanması sonucunda $\text{Bi}_{5}\text{Sb}_4\text{O}_{16}$ fazı elde edildi. Reaksiyon sonucunda tespit edilen kütle artışıları 2.5 mol-gram O_2 'e karşılık gelmektedir. Bu artışın dikkate alınması ile reaksiyon denklemi şu şekilde olması gereklidir :



$\text{Bi}_{5}\text{Sb}_4\text{O}_{16}$ fazının x-ışınları toz difraktometresiyle yapılan ölçümlerinden elde edilen sonuçlar tablo 3.14'de (s. 26) yer almaktadır. Bu faza alt toz deseni şekil 3.14'de (s. 66) görülmektedir. Bu faz da yine kübik sistemde primitif bir hücre ile kristalleşmektedir.

3.10. $\text{Bi}_{4}\text{Sb}_3\text{O}_{12}$

$4 \text{Bi}_{2}\text{O}_3 : 3 \text{Sb}_{2}\text{O}_3$ mol oranlarına karşılık gelen karışımın 750°C 'de 4 saat fırınlanması sonucunda $\text{Bi}_{4}\text{Sb}_3\text{O}_{12}$ fazı elde edildi. Reaksiyon sonucunda meydana gelen kütle artışı 1.5 mol-gram O_2 'ne karşılık gelmektedir. Reaksiyon denklemi aşağıda görülmektedir:



Tablo 3.13. $\text{Bi}_5\text{Sb}_3\text{O}_{14}$ fazının x-ışınları toz desenli verileri ve birim hücre parametreleri

I/I_0°	h	k	l	$d_{(\text{düz})}$ [\AA°]	$d_{(\text{hes})}$ [\AA°]
100.0	2	2	2	3.1092	3.1093
6.2	3	2	1	2.8787	2.8786
37.8	4	0	0	2.6927	2.6927
6.3	4	2	0	2.4084	2.4084
37.7	4	4	0	1.9040	1.9040
7.7	6	0	0	1.7951	1.7951
39.3	6	2	2	1.6238	1.6238
8.8	4	4	4	1.5546	1.5546
6.9	8	0	0	1.3464	1.3464
8.4	6	6	2	1.2355	1.2355
6.5	8	4	0	1.2042	1.2042
4.9	8	4	4	1.0993	1.0993

θ için sıfır noktası düzeltmesi: $\Delta\theta = (-7 \pm 8) \cdot 10^{-5}$

Birim hücre parametreleri:

$$a = 10.77086 \pm 2.10^{-5} \text{\AA}^\circ$$

$$V = 1249.544 \text{\AA}^3$$

Tablo. 3.14. $\text{Bi}_5\text{Sb}_4\text{O}_{16}$ fazının x-ışınları toz desenlerini ve
birim hücre parametreleri

l/l_{∞}	h	k	l	d (düz) [\AA]	d (hes) [\AA]
100.0	2	2	2	3.1186	3.1186
12.3	3	2	1	2.88783	2.8873
38.2	4	0	0	2.7008	2.7008
6.2	4	2	0	2.4157	2.4157
27.8	4	4	0	1.9098	1.9098
7.6	6	0	0	1.8005	1.8005
32.6	6	2	2	1.6287	1.6287
6.6	4	4	4	1.5593	1.5593
6.7	8	0	0	1.3504	1.3504
11.0	6	6	2	1.2392	1.2392
5.4	8	4	0	1.2078	1.2078
7.5	8	4	4	1.1026	1.1026

θ için sıfır noktası düzeltmesi: $\Delta\theta = (3.0 \pm 9.0) \cdot 10^{-5}$

Birim hücre parametreleri:

$$a = 10.8033 \pm 3.0 \cdot 10^{-5} \text{\AA}$$

$$V = 1260.857 \text{\AA}^3$$

Bu faza alt toz deseni şekil 3.15'de (s. 67) ve bu desenin değerlendirilmesi ile bulunan sonuçlar da tablo 3.15'de (s. 28) görülmektedir. Tablodan bu fazın kübik sistemde kristallendiği anlaşılmaktadır.

3.11. $\text{Bi}_7\text{Sb}_5\text{O}_{22}$

$7 \text{Bi}_2\text{O}_3 : 5 \text{Sb}_2\text{O}_3$ stokiyometrik oranına karşılık gelen karışımın 750°C 'de 6 saat reaksiyona tabi tutulması sonucunda $\text{Bi}_7\text{Sb}_5\text{O}_{22}$ fazı elde edildi. Aynı karışımın reaksiyonu sonucunda meydana gelen kütle artışı 4 mol- gram O_2 'ne karşılık gelmektedir. Bu durumda reaksiyon denklemi:



şeklinde olmaktadır.

X-ışınları toz difraktometresi ile yapılan ölçüm çalışmaları sonucunda elde edilen değerler ve indisleme sonuçları tablo 3.16.' da (s. 29) görülmektedir. X-ışınları toz deseni ise şekil 3.16 ' da (s.67) görülmektedir.

Bu faz kübik primitif hücreye sahip olarak kristalleşmektedir.

3.12. $\text{Bi}_7\text{Sb}_4\text{O}_{20}$

$7 \text{Bi}_2\text{O}_3 : 4 \text{Sb}_2\text{O}_3$ mol oranına karşılık gelen karışımın 750°C 'de 4-5 saat fırınlanması neticesinde $\text{Bi}_7\text{Sb}_4\text{O}_{20}$ fazı elde edildi. Oluşan bu faz daha yukarı sıcaklıklarda tekrar bilinmeyen ürünlere dönüşmek sureti ile bozunmaktadır.

Katıhal reaksiyonu sonucunda meydana gelen kütle artışı 3.5 mol-gram O_2 'e karşılık gelmektedir. Bu durumda reaksiyon denklemi şöyle olmaktadır:

Tablo 3.15. $\text{Bi}_4\text{Sb}_3\text{O}_{12}$ fazının x-ışınları toz deseni verileri ve
birim hücre parametreleri

$ I _{\circ}$	h	k	l	d (düz) [\AA]	d (hes) [\AA]
100.0	2	2	2	3.1161	3.1161
10.7	3	2	1	2.8850	2.8850
36.3	4	0	0	2.6986	2.6986
6.0	4	2	0	2.4138	2.4137
31.7	4	4	0	1.9083	1.9082
6.0	6	0	0	1.7987	1.7991
38.1	6	2	2	1.6274	1.6273
8.3	4	4	4	1.5581	1.5581
5.7	8	0	0	1.3494	1.3493
9.5	6	6	2	1.2383	1.2382
8.3	8	4	0	1.2069	1.2069
4.6	9	4	0	1.0960	1.0960

θ için sıfır noktası düzeltmesi $\Delta\theta = (1.01 \pm 2.16) \cdot 10^{-3}$

Birim hücre parametreleri:

$$a = 10.79450 \pm 6.0 \cdot 10^{-4} \text{\AA}$$

$$V = 1257.789 \text{\AA}^3$$

Tablo 3.16. $\text{Bi}_{75}\text{Sb}_{22}\text{O}_{22}$ fazının x-ışınları toz desenleri verileri ve
birim hücre parametreleri

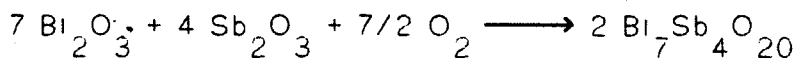
$I/I_0 \%$	h	k	l	$d_{(\text{düz})} [{}^\circ\text{A}]$	$d_{(\text{hes})} [{}^\circ\text{A}]$
100.0	2	2	2	3.0991	3.0996
7.3	3	2	1	2.8692	2.8697
38.8	4	0	0	2.6840	2.6843
4.7	4	2	0	2.4007	2.4009
31.7	4	4	0	1.8980	1.8981
6.1	6	0	0	1.7894	1.7896
36.1	6	2	2	1.6194	1.6187
6.5	4	4	4	1.5497	1.5497
5.6	8	0	0	1.3421	1.3422
12.8	6	6	2	1.2316	1.2317
8.0	8	4	0	1.2005	1.2005
4.1	8	4	4	1.0959	1.0959

θ için sıfır noktası düzeltmesi: $\Delta\theta = (3.34 \pm 4.01) \cdot 10^{-3}$

Birim hücre parametreleri:

$$a = 10.7373 \pm 1.1 \cdot 10^{-3} {}^\circ\text{A}$$

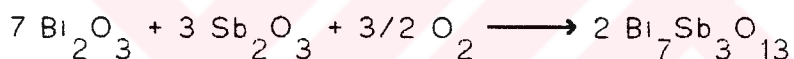
$$V = 1237.909 {}^\circ\text{A}^3$$



Toz deseninin değerlendirilmesi ile bulunan sonuçlar tablo 3.17'de verilmektedir ve toz deseni ise şekil 3.17'de (s. 68) görülmektedir. Bu faz da yine kübik sistemde primitif hücreli olarak kristalleşmektedir.

3.13. $\text{Bi}_{7\frac{1}{3}}\text{Sb}_{3\frac{1}{3}}\text{O}_{13}$

$7 \text{Bi}_{2\frac{1}{3}}\text{O}_3 : 3 \text{Sb}_{2\frac{1}{3}}\text{O}_3$ karışımının $700-750^{\circ}\text{C}$ 'de 5 saat fırınlanması neticesinde $\text{Bi}_{7\frac{1}{3}}\text{Sb}_{3\frac{1}{3}}\text{O}_{13}$ fazı elde edildi. Fırınlama neticesinde meydana gelen kütle artışı 1.5 mol-gram O_2 'e karşılık gelmektedir. Buna göre reaksiyon denklemi şu şekilde gösterilebilir:



X-ışınları toz difraktometresiyle yapılan ölçüm ve indisleme çalışmalarından elde edilen sonuçlar tablo 3.18'de (s. 32) görülmektedir.

Ayrıca oluşan faz için elde edilen toz deseni şekil 3.18.'de (s. 68) görülmektedir. Bu faz da yine kübik sistemde kristalleşmektedir.

3.14. $\text{Bi}_{28\frac{1}{4}}\text{Sb}_{4\frac{1}{2}}\text{O}_{51}$

Bu faz $7 \text{Bi}_{2\frac{1}{3}}\text{O}_3 : 1 \text{Sb}_{2\frac{1}{3}}\text{O}_3$ karışımının 750°C 'de 4 saat fırınlanması ile elde edildi. Reaksiyon sonucunda meydana gelen kütle artışı 1.5 mol-gram O_2 'ne karşılık gelmektedir. Meydana gelen reaksiyonun denklemi ise söyledir:

Tablo 3.17. $\text{Bi}_7\text{Sb}_4\text{O}_{20}$ fazının x-ışınları toz desenleri ve
birim hücre parametreleri

l/l_{∞}	h	k	l	d (düz) [\AA]	d (hes) [\AA]
100.0	2	2	2	3.1436	3.1391
7.6	3	2	1	2.9139	2.9062
44.6	4	0	0	2.7236	2.7185
8.9	4	2	0	2.4481	2.4315
55.6	4	4	0	1.9313	1.9223
6.5	6	0	0	1.8050	1.8123
54.7	6	2	2	1.6428	1.6393
10.9	4	4	4	1.5651	1.5695
7.4	8	0	0	1.3632	1.3593
13.6	6	6	2	1.2421	1.2473
10.0	8	4	0	1.2097	1.2158
17.2	9	4	0	1.1092	1.1041

θ için sıfır noktası düzeltmesi: $\Delta\theta = (2.2855 \pm 1.6048) \cdot 10^{-1}$

Birim hücre parametreleri:

$$a = 10.8740 \pm 4.527 \cdot 10^{-2} \text{ \AA}$$

$$V = 1285.794 \text{ \AA}^3$$

Tablo 3.18. $\text{Bi}_{7} \text{Sb}_{3} \text{O}_{13}$ fazının x-ışınları toz desenleri verileri ve
birim hücre parametreleri

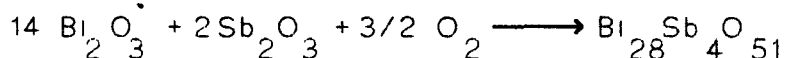
l/l_{∞}	h	k	l	d (düz) [\AA]	d (hes) [\AA]
100.0	2	2	2	3.1012	3.1033
2.8	3	2	1	2.8713	2.8731
39.1	4	0	0	2.6859	2.6876
4.8	4	2	0	2.4024	2.4038
37.8	4	4	0	1.8993	1.9004
2.0	6	0	0	1.7907	1.7917
35.2	6	2	2	1.6198	1.6207
6.2	4	4	4	1.5509	1.5517
4.0	8	0	0	1.3484	1.3438
9.8	6	6	2	1.2325	1.2331
10.6	8	4	0	1.2013	1.2019
6.8	8	4	4	1.0967	1.0972

θ için sıfır noktası düzeltmesi: $\Delta\theta = (4.13 \mp 49.10) \cdot 10^{-3}$

Birim hücre parametreleri:

$$a = 10.75023 \pm 1.357 \cdot 10^{-2} \text{\AA}$$

$$V = 1242.376 \text{\AA}^3$$



Ölçülen toz deseni şekil 3.19.'da (s. 69) ve bu desenin değerlendirme sonuçları ise tablo 3.19.'da (s. 34) verilmiştir. Bu faz kübik sistemde yüzey merkezli hücreye sahip olarak kristalleşmektedir.

3.15. $\text{Bi}_{16}\text{Sb}_{6}\text{O}_{37}$

$8 \text{Bi}_{2\frac{1}{3}}\text{O}_3 : 3 \text{Sb}_{2\frac{1}{3}}\text{O}_3$ karışımının 650°C 'de 6 saat ısıtılması sonucunda $\text{Bi}_{6}\text{Sb}_{6}\text{O}_{37}$ fazı elde edildi. Oluşan bu faz 750°C civarında tekrar bozunmaktadır. Reaksiyon sonunda tespit edilen kütle artışı 2 mol-gram O_2 'e karşılık gelmektedir. Buna göre reaksiyon denklemi nın



şeklinde olması gerekmektedir. Oluşan bu faza alt toz deseni şekil 3.20'de (s.69) görülmektedir. Toz desenin değerlendirilmesi sonucunda fazın kübik yüzey merkezli sistemde kristallendiği tespit edilmiş ve toz desenine alt sonuçlar tablo 3.20'de verilmiştir (s. 35).

3.16. $\text{Bi}_9\text{Sb}_{2\frac{1}{3}}\text{O}_{18}$

$9 \text{Bi}_{2\frac{1}{3}}\text{O}_3 : 2 \text{Sb}_{2\frac{1}{3}}\text{O}_3$ stokiyometrik oranına tekabül eden karışımın 750°C de 5-6 saat ısıtılması sonucunda $\text{Bi}_9\text{Sb}_{2\frac{1}{3}}\text{O}_{18}$ fazı elde edildi. Reaksiyon sonucunda meydana gelen kütle artışı 1.5 mol-gram O_2 'e karşılık gelmektedir. Bu artışın reaksiyona ilave edilmesi ile reaksiyon denklemi şöyle olmaktadır:

Tablo 3.19. $\text{Bi}_{28} \text{Sb}_{4} \text{O}_{51}$ fazının x-ışınları toz desen verileri
ve birim hücre parametreleri

$1/\lambda$	h	k	l	d (düz) [\AA]	d (hes) [\AA]
100.0	1	1	1	3.2225	3.2172
63.1	2	0	0	2.7897	2.7862
73.0	2	2	0	1.9714	1.9701
37.3	3	1	1	1.6791	1.6801
16.3	2	2	2	1.6088	1.6086
8.6	4	0	0	1.3921	1.3931
27.8	3	3	1	1.2787	1.2784
4.3	3	3	2	1.1875	1.1880
20.9	4	3	1	1.0933	1.0928

θ için sıfır noktası düzeltmesi: $\Delta\theta = (-3.686 \pm 2.434) \cdot 10^{-2}$

Birim hücre parametreleri:

$$a = 5.5723 \pm 3.33 \cdot 10^{-3} \text{\AA}$$

$$V = 173.026 \text{\AA}^3$$

Tablo 3.20. $\text{Bi}_{16} \text{Sb}_6 \text{O}_{37}$ fazının x-ışınları toz desenleri verileri ve
birim hücre parametreleri

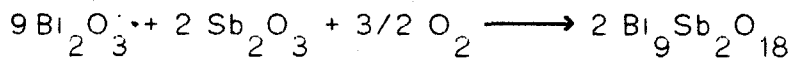
$ I _{\circ}$	h	k	l	d (düz) [\AA]	d (hes) [\AA]
100.0	1	1	1	3.0951	3.1041
32.3	2	0	0	2.6823	2.6883
36.0	2	2	0	1.9013	1.9009
27.7	3	1	1	1.6225	1.6211
7.3	2	2	2	1.5500	1.5521
4.2	4	0	0	1.3486	1.3441
7.8	3	3	1	1.2323	1.2335
5.8	4	2	2	1.0975	1.0975

θ için sıfır noktası düzeltmesi: $\Delta\theta = (4.460 \pm 7.767) \cdot 10^{-2}$

Birim hücre parametreleri:

$$a = 5.3765 \pm 1.011 \cdot 10^{-2} \text{\AA}$$

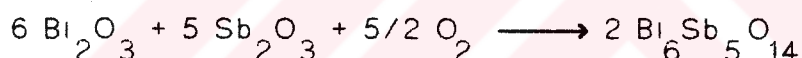
$$V = 155.421 \text{\AA}^3$$



Reaksiyon ürününe alt toz deseni şekil 3.21'de (s. 70) verilmiştir. İndisleme çalışmaları sonunda bu ürünün kübik yüzey merkezli sisteme kristalendiği ve saf bir fazdan ibaret olduğu anlaşılmıştır. Toz deseni değerlendirme sonuçları tablo 3.21'de görülmektedir (s. 37).

3.17. $\text{Bi}_6\text{Sb}_5\text{O}_{14}$

$6 \text{Bi}_2\text{O}_3 : 5 \text{Sb}_2\text{O}_3$ oranına karşılık gelen karışımının 750°C 'de 5 saat fırınlanması sonucunda $\text{Bi}_6\text{Sb}_5\text{O}_{14}$ fazı elde edildi. Katıhal reaksiyonu sonucu meydana gelen kütle artışı 2.5 mol-gram O_2 'ne karşılık gelmektedir. Buradan meydana gelen reaksiyonu şöyle yazabiliyoruz:



Reaksiyon sonunda oluşan reaksiyon ürününe alt toz deseni şekil 3.22'de (s. 70) verilmiş olup, toz desenine alt değerlendirme sonuçları da tablo 3.22'de görülmektedir (s. 38). Bu sonuçlar bu fazın kübik sisteme kristallendliğini göstermektedir.

3.18. $\text{Bi}_{18}\text{Sb}_2\text{O}_{31}$

$9 \text{Bi}_2\text{O}_3 : 1 \text{Sb}_2\text{O}_3$ karışımının 750°C 'de yaklaşık 5 saat fırınlanması sonucunda meydana gelen kütle artışı 0.5 mol-gram O_2 'ne karşılık geldiği tespit edilmiştir. Bu durumda reaksiyon denkleminin aşağıdaki gibi olması gereklidir:

Tablo 3.21. $\text{Bi}_9\text{Sb}_2\text{O}_{18}$ fazının x-ışınları toz deseni verileri ve
birim hücre parametreleri

I/I_0	h	k	l	$d_{(\text{düz})}$ [$^{\circ}\text{A}$]	$d_{(\text{hes})}$ [$^{\circ}\text{A}$]
100.0	1	1	1	3.1169	3.1243
42.0	2	0	0	2.7003	2.7058
56.9	2	2	0	1.9124	1.9133
49.1	3	1	1	1.6314	1.6316
10.7	2	2	2	1.5615	1.5622
7.9	4	0	0	1.3533	1.3529
10.5	3	3	1	1.2442	1.2415
6.7	4	2	0	1.2102	1.2100
3.6	4	2	2	1.1032	1.1046

θ için sıfır noktası düzeltmesi: $\Delta\theta = (5.259 \pm 6.692) \cdot 10^{-2}$

Birim hücre parametreleri:

$$a = 5.4115 \pm 8.85 \cdot 10^{-3} \text{ } ^{\circ}\text{A}$$

$$V = 158.472 \text{ } ^{\circ}\text{A}^3$$

Tablo 3.22. $\text{Bi}_6\text{Sb}_5\text{O}_{14}$ fazının x-ışınları toz deseni verileri ve
birim hücre parametreleri

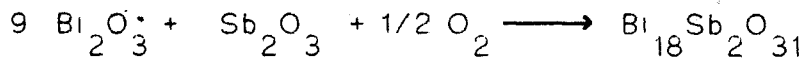
$1/\lambda$ \AA^{-1}	h	k	l	d (düz) \AA	d (hes) \AA
100.0	2	2	2	3.1209	3.1186
16.3	3	2	1	2.8890	2.8872
40.5	4	0	0	2.7016	2.7008
9.4	4	2	0	2.4170	2.4156
26.0	4	4	0	1.9106	1.9097
3.2	5	3	0	1.8535	1.8535
7.9	6	0	0	1.8012	1.8005
5.7	6	2	0	1.7078	1.7081
31.0	6	2	2	1.6271	1.6286
8.7	4	4	4	1.5598	1.5593
6.9	8	0	0	1.3486	1.3504
13.6	6	6	2	1.2395	1.2392
9.9	8	4	0	1.2081	1.2078
7.3	8	4	4	1.1028	1.1026

θ için sıfır noktası düzeltmesi: $\Delta\theta = (-1.053 \pm 1.891) \cdot 10^{-2}$

Birim hücre parametreleri:

$$a = 10.80309 \pm 5.48 \cdot 10^{-3} \text{\AA}$$

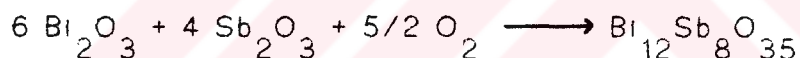
$$V = 1260.792 \text{\AA}^3$$



Reaksiyonda oluşan ürünün toz deseni şekil 3.23'de (s. 71) görülmektedir. Aynı toz deseni indislenmeye çalışılmış olup kübik yüzey merkezli sistemde kristallendiği tespit edilmiştir. Toz deseninin değerlendirme sonuçları tablo 3.23' de verilmiştir (s. 40).

3.19. $\text{Bi}_{12} \text{Sb}_8 \text{O}_{35}$

Bu faz $6 \text{ Bi}_2\text{O}_3 : 4 \text{ Sb}_2\text{O}_3$ fazının 750°C ' de 4 saat ısıtıması sonucunda elde edildi. Reaksiyon sonucunda meydana gelen kütle artışı 2.5 mol-gram O_2 'ne karşılık gelmektedir. Bu durumda fırında cereyan eden reaksiyon denkleminin



şeklinde olması gereklidir. Ürune alt ölçülen toz deseni şekil 3.24'de (s. 71) ve bu toz deseninin değerlendirilmesi ile bulunan sonuçlar tablo 3.24'de verilmiştir (s. 41) . Bu ürün de diğerleri gibi kübik sistemde kristallemektedir.

3.20. $\text{Bi}_8 \text{SbO}_{14}$

Bu faz $8 \text{ Bi}_2\text{O}_3 : 1 \text{ Sb}_2\text{O}_3$ karışımının 750°C ' de 4 saat ısıtıması sonucunda elde edildi. Reaksiyon sonucunda meydana gelen kütle artışı 0.5 mol-gram O_2 'e karşılık gelmektedir. Buradan reaksiyon denkleminin

Tablo 3.23. $\text{Bi}_{18}\text{Sb}_2\text{O}_{31}$ fazının x-ışınları toz desenleri ve
birim hücre parametreleri

I/I_0	h	k	l	$d_{(\text{düz})}$ [$^{\circ}\text{A}$]	$d_{(\text{hes})}$ [$^{\circ}\text{A}$]
100.0	1	1	1	3.1640	3.1596
41.4	2	0	0	2.7350	2.7363
36.2	2	2	0	1.9346	1.9349
26.4	3	1	1	1.6504	1.6501
6.0	2	2	2	1.5816	1.5798
4.9	4	0	0	1.3661	1.3682
6.8	3	3	1	1.2577	1.2555
7.3	4	2	0	1.2216	1.2237
5.6	4	2	2	1.1176	1.1171

θ için sıfır noktası düzeltmesi: $\Delta\theta = (-6.467 \pm 6.926) \cdot 10^{-2}$

Birim hücre parametreleri:

$$a = 5.4726 \pm 9.44 \cdot 10^{-3} \text{ } ^{\circ}\text{A}$$

$$V = 163.902 \text{ } ^{\circ}\text{A}^3$$

Tablo 3.24. $\text{Bi}_{12}\text{Sb}_8\text{O}_{35}$ fazının x-ışınları toz deseni verileri ve
birim hücre parametreleri

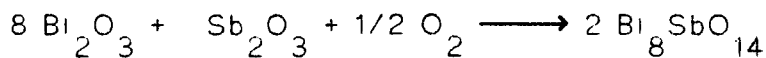
I/I_0	h	k	l	$d_{(\text{düz})}$ [$^{\circ}\text{A}$]	$d_{(\text{hes})}$ [$^{\circ}\text{A}$]
100.0	2	2	2	3.1316	3.1240
10.6	3	2	1	2.8975	2.8922
36.2	4	0	0	2.7023	2.7054
8.6	4	2	0	2.4237	2.4198
31.9	4	4	0	1.9135	1.9130
1.8	5	3	0	1.8541	1.8559
6.7	6	0	0	1.7991	1.8036
33.9	6	2	2	1.6325	1.6314
7.4	4	4	4	1.5603	1.5620
5.3	8	0	0	1.3556	1.3527
11.4	6	6	2	1.2415	1.2413
6.4	8	4	0	1.2091	1.2099
4.1	6	6	5	1.0987	1.0988

θ için sıfır noktası düzeltmesi: $\Delta\theta = (-4.914 \pm 3.577) \cdot 10^{-2}$

Birim hücre parametreleri:

$$a = 10.8217 \pm 1.023 \cdot 10^{-2} \text{ } ^{\circ}\text{A}$$

$$V = 1267.344 \text{ } ^{\circ}\text{A}^3$$



şeklinde olduğu ortaya çıkar. Reaksiyon ürününe alt toz desen şe^kil 3.25' de (s. 72) ve toz deseninin değerlendirme sonuçları da tablo 3.25' de görülmektedir (s. 43). Ölçüm sonuçları fazın kübik yüzey merkezli örgü tipine sahip olduğunu göstermektedir.

3.21. $\text{Bi}_6\text{SbO}_{11}$

$6 \text{Bi}_2\text{O}_3 : 1 \text{Sb}_2\text{O}_3$ stokiyometrisine uyan karışımın 750°C ' de 4-5 saat civarında ısıtılması sonucunda $\text{Bi}_6\text{SbO}_{11}$ fazi elde edildi. Reaksiyon sonucunda meydana gelen kütle artısı 0.5 mol-gram O_2 e karşılık gelmektedir. Buradan reaksiyon denklemi



şeklinde olacağı anlaşırlar. Şe^kil 3.26. (s. 72) verilen bu faza alt toz deseninin değerlendirme sonuçları tablo 3.26' de belirtilmiştir (s. 44). Sonuçlar bu fazın kübik yüzey merkezli sisteme kristallendiğini göstermektedir.

3.22. $\text{Bi}_9\text{Sb}_4\text{O}_{21}$

$9 \text{Bi}_2\text{O}_3 : 4 \text{Sb}_2\text{O}_3$ karışımının 650°C ' de 8 saat ısıtılması sonucunda $\text{Bi}_9\text{Sb}_4\text{O}_{21}$ fazi elde edildi. Reaksiyon bittiminde meydana gelen kütle artısı 1.5 mol-gram O_2 e karşılık gelmektedir. Buradan meydana gelen reaksiyon denklemi aşağıda görülmektedir :

Tablo 3.25. $\text{Bi}_8\text{SbO}_{14}$ fazının x-ışınları toz desenleri verileri ve
birim hücre parametreleri

I/I_0	h	k	l	$d_{(\text{düz})}$ [$^{\circ}\text{A}$]	$d_{(\text{hes})}$ [$^{\circ}\text{A}$]
100.0	1	1	1	3.2415	3.2354
45.5	2	0	0	2.8056	2.8019
59.2	2	2	0	1.9830	1.9812
36.9	3	1	1	1.6908	1.6896
6.9	2	2	2	1.6169	1.6177
5.1	4	0	0	1.3984	1.4010-
14.3	3	3	1	1.2852	1.2856
6.6	4	2	0	1.2535	1.2530
6.0	4	2	2	1.1445	1.1445

ϑ için sıfır noktası düzeltmesi: $\Delta\vartheta = (-3.087 \pm 4.374) \cdot 10^{-2}$

Birim hücre parametreleri:

$$a = 5.6038 \pm 6.32 \cdot 10^{-3} \text{ } ^{\circ}\text{A}$$

$$V = 175.974 \text{ } ^{\circ}\text{A}^3$$

Tablo 3.26. $\text{Bi}_6\text{SbO}_{11}$ fazının x-ışınları toz desenleri ve birim hücre parametreleri

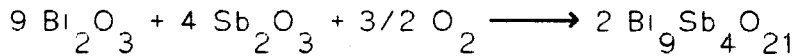
$ I _o$	h	k	l	$d_{(\text{düz})}$ [\AA]	$d_{(\text{hes})}$ [\AA]
100.0	1	1	1	3.1343	3.1418
52.6	2	0	0	2.7203	2.7209
68.5	2	2	0	1.9229	1.9240
45.3	3	1	1	1.6417	1.6408
3.9	2	2	2	1.5720	1.5709
3.6	3	2	0	1.5135	1.5093
6.6	4	0	0	1.3579	1.3605
7.4	3	3	1	1.2495	1.2484
7.3	4	2	0	1.2123	1.2168
2.7	4	2	1	1.1892	1.1875
4.6	4	2	2	1.1117	1.1108

θ için sıfır noktası düzeltmesi: $\Delta\theta = (8.246 \pm 100.62) \cdot 10^{-3}$

Birim hücre parametreleri:

$$a = 5.4418 \pm 1.332 \cdot 10^{-2} \text{\AA}$$

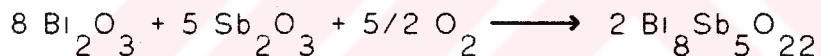
$$V = 161.150 \text{\AA}^3$$



Oluşan ürünün toz deseni şekil 3.27'de (s. 73) ve toz deseninin değerlendirme sonuçları da tablo 3.27'de (s. 46) görülmektedir. Tablodan ürünün kübik yüzey merkezli sistemde kristalleşen bir faz olduğu anlaşılmaktadır.

3.23. $\text{Bi}_{8/5}\text{Sb}_{22}$

$8 \text{Bi}_2\text{O}_3 : 5 \text{Sb}_2\text{O}_3$ oranındaki karışımın 650°C 'de 6-8 saat ısılması sonucunda $\text{Bi}_{8/5}\text{Sb}_{22}$ fazı elde edildi. Reaksiyon sonucunda tespit edilen kütle artışının 2.5 mol-gram O_2 'e karşılık geldiği tespit edildi. Meydana gelen reaksiyon denklemi aşağıda görülmektedir :



Yine kübik sisteme kristallendiği tespit edilen reaksiyon ürününün ölçülen toz deseni şekil 3.28'de (s. 73) ve değerlendirilen toz desenin sonuçları da tablo 3.28'de görülmektedir (s. 47).

3.24 $\text{Bi}_{8/7}\text{Sb}_{26}$

$8 \text{Bi}_2\text{O}_3 : 7 \text{Sb}_2\text{O}_3$ karışımının 650°C 'de 8 saat ısılması sonucunda bu faz elde edildi. Reaksiyon sonucu meydana gelen kütle artışı ise 3.5 mol-gram O_2 'e karşılık gelmektedir. Buradan meydana gelen reaksiyonun denklemi

Tablo 3.27. $\text{Bi}_9\text{Sb}_4\text{O}_{21}$ fazının x-ışınları toz deseni verileri ve
birim hücre parametreleri

I/I_0	h	k	l	$d_{(\text{düz})}$ [$^{\circ}\text{A}$]	$d_{(\text{hes})}$ [$^{\circ}\text{A}$]
100.0	1	1	1	2.9797	2.9797
38.1	2	0	0	2.5801	2.5790
38.6	2	2	0	1.8254	1.8236
36.91	3	1	1	1.5561	1.5552
10.0	2	2	2	1.4860	1.4890
6.5	4	0	0	1.2901	1.2895
9.8	4	1	1	1.2158	1.2158
6.0	3	3	1	1.1833	1.1833
3.4	3	3	2	1.0998	1.0997

θ için sıfır noktası düzeltmesi: $\Delta\theta = (-6.88 \pm 38.47) \cdot 10^{-3}$

Birim hücre parametreleri:

$$a = 5.158 \pm 4.71 \cdot 10^{-3}$$

$$V = 137.233$$

Tablo 3.28. $\text{Bi}_8\text{Sb}_5\text{O}_{22}$ fazının x-ışınları toz desen verileri ve
birim hücre parametreleri

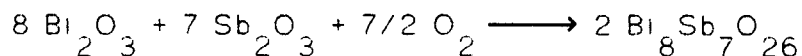
I/I_0	h	k	l	d (düz) [$^{\circ}\text{A}$]	d (hes) [$^{\circ}\text{A}$]
100.0	2	2	2	3.1113	3.1100
7.0	3	2	1	2.8804	2.8793
32.3	4	0	0	2.6940	2.6933
4.4	4	2	0	2.4078	2.4090
28.2	4	4	0	1.9049	1.9045
4.7	6	0	0	1.7958	1.7955
29.6	6	2	2	1.6236	1.6241
9.2	4	4	4	1.5548	1.5550
10.1	8	0	0	1.3469	1.3467
7.6	6	6	2	1.2356	1.2358
5.5	8	4	0	1.2044	1.2045
7.1	8	4	4	1.0996	1.0995

θ için sıfır noktası düzeltmesi : $\Delta \theta = (-1.011 \pm 0.58) \cdot 10^{-2}$

Birim hücre parametreleri:

$$a = 10.7733 \pm 1.63 \cdot 10^{-3} \text{ } ^{\circ}\text{A}$$

$$V = 1250.392 \text{ } ^{\circ}\text{A}^3$$

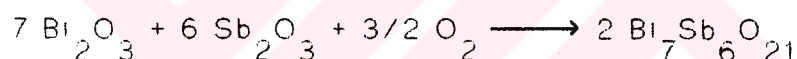


şeklinde olduğu sonucuna varılır.

Reaksiyon ürününün toz deseni şekil 3.29'da (s.74) ve toz deseninin değerlendirme sonuçları da tablo 3.29'da verilmiştir (s. 49). Tablo bu ürününde kübik sistemde kristallendiğini gösteriyor.

3.25. $\text{Bi}_7\text{Sb}_6\text{O}_{21}$

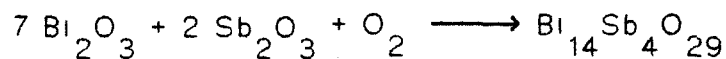
$7 \text{Bi}_2\text{O}_3 : 6 \text{Sb}_2\text{O}_3$ oranındaki karışımın 650°C ' de 10 saat ısıtılması sonucunda bu faz elde edildi. Reaksiyondaki kütle artışı 1.5 mol-gram O_2 e karşılık gelmektedir. Buna göre cereyan eden reaksiyonun denklemi



şeklindedir. Alınan toz deseni şekil 3.30'da (s. 74) görülmektedir. Toz deseni kübik olarak indisenmiş olup diğer değerlendirme sonuçları ile birlikte tablo 3.30 'da verilmiştir (s. 50).

3.26. $\text{Bi}_{14}\text{Sb}_4\text{O}_{29}$

$7 \text{Bi}_2\text{O}_3 : 2 \text{Sb}_2\text{O}_3$ stokiyometrisine uyan karışımın 750°C ' de 5 saat fırınlanması neticesinde $\text{Bi}_{14}\text{Sb}_4\text{O}_{29}$ fazı elde edildi. Reaksiyon sonucu kütle artışı 1 mol-gram O_2 e karşılık gelmektedir. Buradan reaksiyon denklemi şu şekilde yazılabilir:



Oluşan fazın çizgi diyagramı şekil 3.31.'de (s. 75) görülmektedir. Tablo 3.31.'de ise ölçümülerden elde edilen değerler görülmektedir (s. 51).

Tablo 3.29. $\text{Bi}_{\frac{8}{8}} \text{Sb}_{\frac{7}{7}} \text{O}_{\frac{26}{26}}$ fazının x-ışınları toz desenleri verileri ve
birim hücre parametreleri

$ I _0$	h	k	l	$d_{(\text{düz})}$ [$^{\circ}\text{A}$]	$d_{(\text{hes})}$ [$^{\circ}\text{A}$]
100.0	2	2	2	3.0905	3.0931
6.2	3	2	1	2.8613	2.8636
38.8	4	0	0	2.6772	2.6787
8.7	4	2	0	2.3930	2.3959
29.6	4	4	0	1.8926	1.8941
8.4	6	0	0	1.7843	1.7858
38.1	5	3	3	1.6325	1.6340
10.3	4	4	4	1.5453	1.5453
7.4	8	0	0	1.3468	1.3393
12.4	8	3	1	1.2445	1.2456
12.7	7	5	2	1.2122	1.2132
12.8	8	4	4	1.0928	1.0936

ϑ için sıfır noktası düzeltmesi: $\Delta\vartheta = (-4.6 \pm 794.9) \cdot 10^{-4}$

Birim hücre parametreleri:

$$a = 10.7147 \pm 7.949 \cdot 10^{-2} \text{ } ^{\circ}\text{A}$$

$$v = 1230.129 \text{ } ^{\circ}\text{A}^3$$

Tablo 3.30. $\text{Bi}_7\text{Sb}_6\text{O}_{21}$ fazının x-ışınları toz desenleri verileri ve
birim hücre parametreleri

I/I_0	h	k	l	$d_{(\text{düz})}$ [$^{\circ}\text{A}$]	$d_{(\text{hes})}$ [$^{\circ}\text{A}$]
100.0	2	2	2	3.1079	3.1087
15.4	3	2	1	2.8753	2.8781
34.4	4	0	0	2.6866	2.6922
7.8	4	2	0	2.4046	2.4080
26.4	4	4	0	1.9067	1.9037
9.2	6	0	0	1.7941	1.7948
27.8	6	2	2	1.6262	1.6235
3.7	4	4	4	1.5534	1.5543
3.4	8	0	0	1.3455	1.3461
5.6	6	6	2	1.2347	1.2353
6.7	8	4	0	1.2052	1.2040
7.2	8	4	4	1.0987	1.0991

θ için sıfır noktası düzeltmesi: $\Delta\theta = (-5.18 \mp 30.46) \cdot 10^{-3}$

Birim hücre sabitleri:

$$a = 10.7687 \mp 8.46 \cdot 10^{-3} \text{ } ^{\circ}\text{A}$$

$$V = 1248.810 \text{ } ^{\circ}\text{A}^3$$

Tablo 3.31. $\text{Bi}_{14} \text{Sb}_4 \text{O}_{29}$ fazının x-ışınları toz desenleri ve
birim hücre parametreleri

I/I_0	h	k	l	d (düz) [$^{\circ}\text{A}$]	d (hes) [$^{\circ}\text{A}$]
100.0	1	1	1	3.1024	3.0987
33.7	2	0	0	2.6858	2.6835
44.7	2	2	0	1.8979	1.8975
44.3	3	1	1	1.6182	1.6182
22.5	2	2	2	1.5492	1.5493
6.4	3	3	1	1.2308	1.2313
7.8	4	2	0	1.1996	1.2001
8.5	4	2	2	1.0961	1.0955

θ için sıfır noktası düzeltmesi : $\Delta\theta = (-3.455 \pm 2.379) \cdot 10^{-2}$

Birim hücre sabitleri:

$$a = 5.3670 \pm 3.07 \cdot 10^{-3} \text{ } ^{\circ}\text{A}$$

$$V = 154.599 \text{ } ^{\circ}\text{A}^3$$

4. Sonuçların Değerlendirilmesi ve Tartışılması

Bu çalışmanın giriş kısmında belirtildiği gibi Sb_2O_3 - Bi_2O_3 sisteminde öncelikle varlığı bilinen fazlar yeniden elde edilmeye çalışılmıştır. çünkü sistem içinde daha önceden bilinen fazların varlığı oldukça sınırlı gözükmemektedir. Bu sistem içinde bilinen ve üzerinde en çok çalışılan faz $BiSbO_4$ fazıdır. Bunun nedeni de bu fazın plastik sanayiinde oksidasyon maddesi ve katalizör olarak kullanım alanı bulmasından kaynaklanmaktadır. Bunun yanında yine daha önceden varlığı bilinen ve pil sanayiinde katı pillerin üretiminde kullanılan fazlardan biri de Bi_3SbO_7 fazıdır. Bu fazların her ikisi de bu çalışmada tekrar elde edildi ve laboratuvarımızda ölçüt-gümüz toz desen verilerinin, literatürde bunlara alt toz desen verileri olmadığından karşılaştırması yapılamadı. Bunun yanında varlığı daha önceden bilinen bazı fazların ($BiSbO_4 \cdot 5 H_2O$, $BiSbO_{37}$, $BiSbO_{23}$, $BiSbO_3$, $BiSbO_{38}$, $BiSbO_4 \cdot 0.5 H_2O$) sentezleri yaptığımız çalışmada mümkün olmamıştır.

Bu fazların elde edilememesi nedenleri belki de yeterli zaman ve sıcaklık taramasına imkan bulunamayışıdır. Ayrıca bu fazlardan bahsedilen yawnarda bunların elde edilis koşulları hakkında yeteri kadar açık bilgi de bulunmamaktadır. Böylece çalışmada daha önceden varlığı bilinen fazların yeniden elde edilmesi ile ilgili amacı kısmen gerçekleştirılmıştır.

Bu çalışma ile amaçlanan bir konu da sistem içinde var olabilecek muhtemel yeni fazların varlıklarının araştırılmasıydı. Bu amaçla mol oranları 1:9 ile 9:1 arasında değişen toplam 51 farklı karışım hazırlanarak, bu karışımalar $500 - 1200^{\circ}C$ arasında yaklaşık 4 - 10 saat aralıklarında katı-hal reaksiyonlarına tabi tutuldular. Neticede varlığı daha önceden bilinen fazların yanında 23 yeni fazın sentezlenmesi bu çalışma ile gerçekleşmiştir. Önceden bilinen ve bu çalışma ile varlığı ortaya konulan fazlar

ve bunların bazı kristalografik özellikleri tablo 4.1'de toplu olarak verilmiştir. Buna göre çalışmada amaçlanan yeni maddelerin sentezi de bızmutterrioksitin mol kesrinin 0.5 ile 0.9 olduğu aralıkta detaylı olarak araştırılmış ve tabloda belirtilen yeni fazlar elde edilerek gerçekleştirılmıştır.

Ancak bızmutterrioksitin mol kesrinin 0 ile 0.5 aralığında kalan kısmında yapılan araştırmalar 0.5 ile 0.9 aralığında olduğu gibi olumlu sonuçlanmıştır. Nitekim bileşimi bu aralığa düşen hiç bir faz şu ana kadar elde edilememiştir. Bundan sonraki çalışmalarımızın bu bölge üzerinde yoğunlaşması planlanmıştır.

Çalışmanın başında da belirtildiği gibi katıhal reaksiyonları açık atmosferde gerçekleştirılmıştır. Bunun nedeni ise koruyucu gaz atmosferinde çalışma koşullarının çalışmanın yapıldığı sırada daha henüz sağlanamamış olmasıdır. Yine daha önce belirtildiği gibi sistemin bileşenlerinden biri olan antimonrioksit oksitlenmektedir. Bu durum katıhal reaksiyonlarındaki kütle artışı ile de kendini belli etmektedir. Verilen reaksiyon denklemleri antimonun kısmı olarak oksitlendigini de gösteriyor.

Bu çalışma ile eksik kalan bir konu da bu reaksiyonların koruyucu gaz atmosferinde yürütülmesi gereken kısmıdır ki, bu da bundan sonraki çalışmalarda üzerinde öncelikle durulacak hususlardan biri olacaktır.

Tablo 4.1'de belirtilen fazların dikkatli çeken bir özelliği bütün fazların kübik sistemde kristalleşmesidir. Bızmutterrioksitin mol kesri bütün bu fazlarda 0.5 veya daha büyüktür; yanı bütün fazlar bızmutça daha zengindir. Tabloda dikkatli çeken bir husus da mol kesrinin 0.5 ile 0.666 olduğu aralıkta fazlar mutlaka kübik basit hücreye sahiptirler; çünkü bu aralığta kalan fazlara alt toz desenlerindeki yansımaların Miller İndisler tek ve çift sayıların bir karışımı halindedirler.

Mol kesri 0.715 ile 0.900 aralığında bir bilesime sahip olarak hazırlanan diğer fazlar ise yine kübik sisteme ancak kübik yüzey merkezli bir hücreye sahiptirler; çünkü bu aralıktaki fazların toz desenlerindeki yansımaların Miller İndisleri ya hep tek ya da hep çift sayılarından meydana gelmektedirler, yanı ya

$$h + k + l = 2n$$

veya

$$h + k + l = 2n + 1$$

koşulunu sağlamaktadır.

Sistem içerisinde karşılaşılan bütün fazların birim hücre hacimleri ve birim hücre sabitleri bizmutrioksitin mol kesrine karşı grafigi şekil 4.1'de görülmektedir. Yukarıda belirtilen hususlar şekilde de çok bariz olarak dikkat çektirilmiştir.

Dikkat çeken noktalardan biri de kübik primitif hücreye sahip fazların bölgesinde (bu bölgede bizmutrioksitin mol kesri 0.5 ile 0.666'dır) yüzey merkezli hücreye sahip fazların bulunduğu (bu bölgede bizmutrioksitin mol kesri 0.714 ile 0.900 arasındadır) bölgeye geçişde gözlenen anomalilikler; çünkü geçiş bölgesinde yer alan iki faz, yanı $\text{Bi}_7\text{Sb}_3\text{O}_{13}$ fazı ile $\text{Bi}_9\text{Sb}_4\text{O}_{21}$ fazı sanki yanlış yerde bulunuyorlar. Bu ters durum da henüz anlaşılmamıştır ve açıklanması gereken bir durumdur.

Yukarıda değinilen ve bu çalışmanın kapsamını aşan ve incelenemeyen noktalar bir tarafa bırakılırsa, sistem içinde önceden bilinen fazların kısmını olarak yeniden sentezlenmesi ile ve bu çalışma ile de sisteme yeni kazandırılan 23 adet yeni fazın elde edilmesi ile bu çalışma amacına ulaşmış bulunmaktadır.

Bu çalışma ile incelenemeyen koruyucu gaz atmosferindeki katıhal reaksiyonları, mol kesrinin 0.0 ile 0.5 aralığında oluşabilecek muhtemel fazların incelenmesi, bütün fazları termal analiz sistemi ile incelenmesi ve sistemin faz diyagramının çıkarılması bundan sonraki çalışmalarımızın konusunu teşkil edecektir.

Tablo 4.1. Oluşan Fazlar ve Bu Fazlarla İlgili Bazı Bilgiler

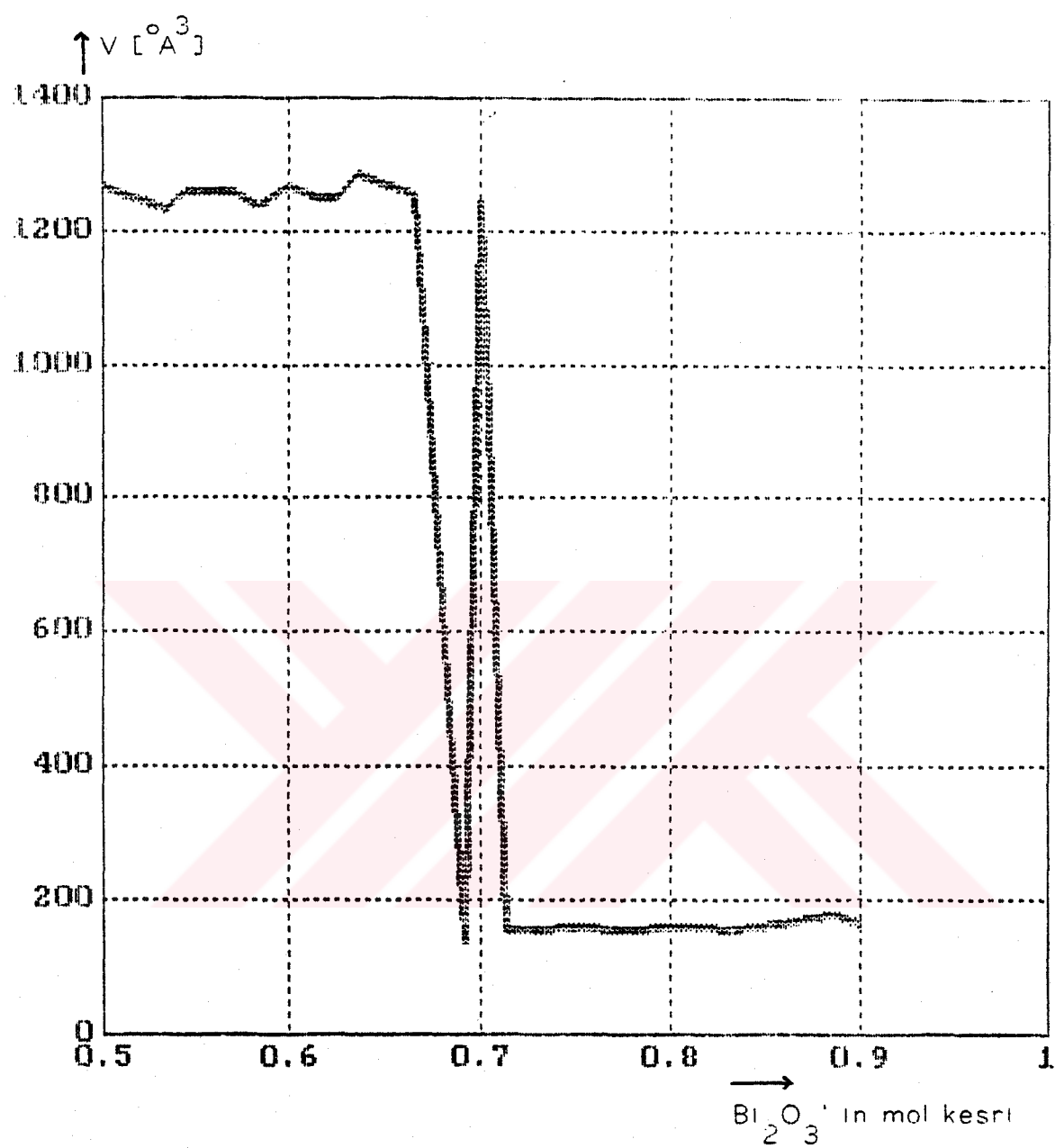
Numara	Oluşan Faz	Birim Hücre Parametreleri	
		Hücre Hacmi $V [\text{ }^{\circ}\text{A}^3]$	Hücre Sabiti $a [\text{ }^{\circ}\text{A}]$
1	BiSbO_4^*	1269.42	$10.83 \pm 4 \cdot 10^{-5}$
2	$\text{Bi}_{8} \text{Sb}_{7} \text{O}_{26}$	1230.129	$10.71 \pm 8.0 \cdot 10^{-2}$
3	$\text{Bi}_{7} \text{Sb}_{6} \text{O}_{21}$	1248.81	$10.77 \pm 8.46 \cdot 10^{-3}$
4	$\text{Bi}_{6} \text{Sb}_{5} \text{O}_{14}$	1260.79	$10.80 \pm 5.48 \cdot 10^{-3}$
5	$\text{Bi}_{5} \text{Sb}_{4} \text{O}_{16}$	1260.86	$10.80 \pm 3 \cdot 10^{-5}$
6	$\text{Bi}_{4} \text{Sb}_{3} \text{O}_{12}$	1257.79	$10.79 \pm 6 \cdot 10^{-4}$
7	$\text{Bi}_{7} \text{Sb}_{5} \text{O}_{22}$	1237.91	$10.74 \pm 1.1 \cdot 10^{-3}$
8	$\text{Bi}_{12} \text{Sb}_{8} \text{O}_{35}$	1267.34	$10.82 \pm 1.02 \cdot 10^{-2}$
9	$\text{Bi}_{8} \text{Sb}_{5} \text{O}_{22}$	1249.39	$10.77 \pm 1.63 \cdot 10^{-3}$
10	$\text{Bi}_{5} \text{Sb}_{3} \text{O}_{14}$	1249.54	$10.77 \pm 2 \cdot 10^{-5}$
11	$\text{Bi}_{7} \text{Sb}_{4} \text{O}_{20}$	1285.794	$10.8740 \pm 4.527 \cdot 10^{-2}$
12	$\text{Bi}_{2} \text{SbO}_5$	1256.16	$10.79 \pm 5.03 \cdot 10^{-3}$
13	$\text{Bi}_{9} \text{Sb}_{4} \text{O}_{21}$	137.23	$5.16 \pm 4.71 \cdot 10^{-3}$

* : Bu faz literatürde mevcuttur.

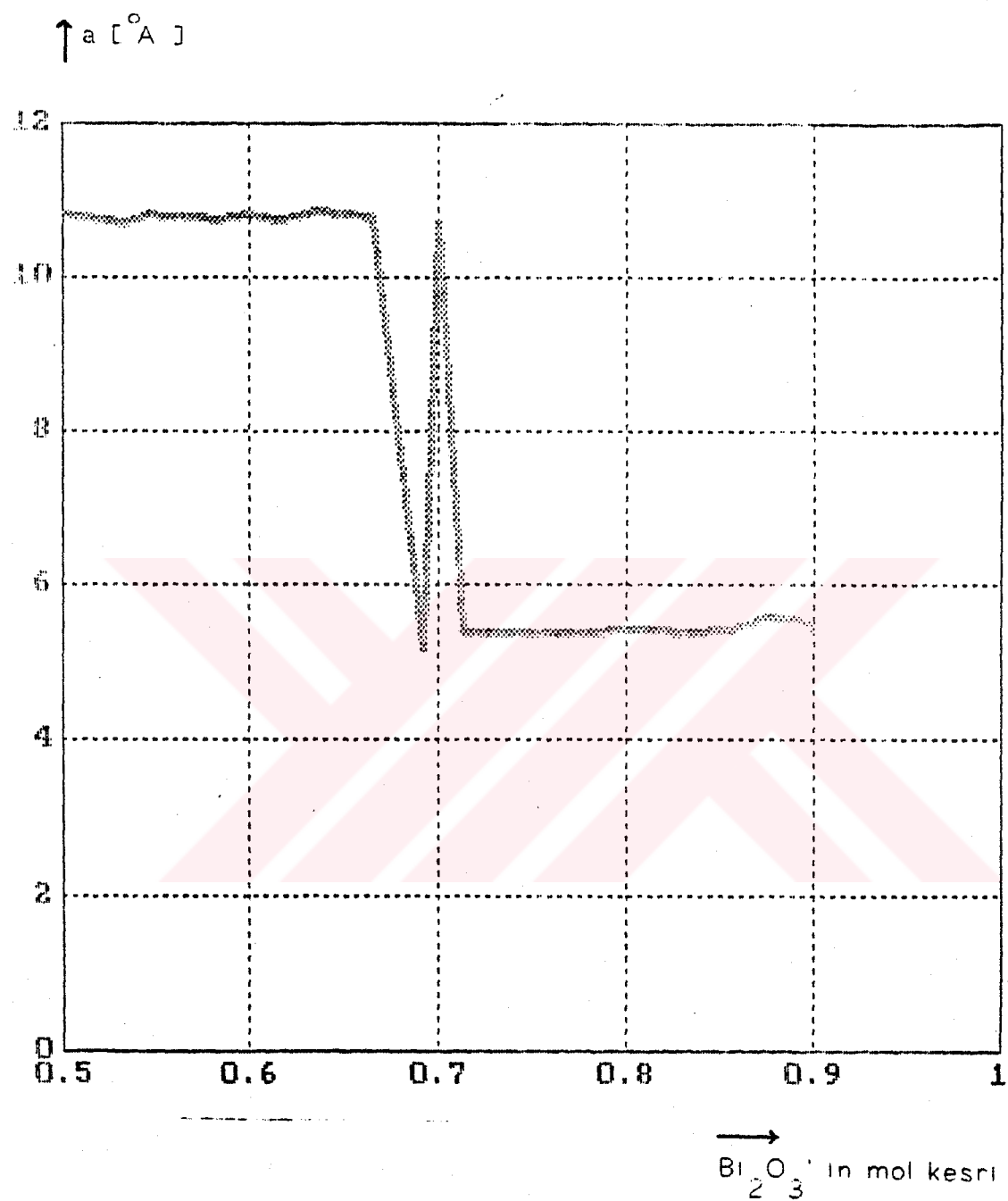
Tablo 4.1.' in devamı

14	$\text{Bi}_7\text{Sb}_3\text{O}_{13}$	1242.38	$10.75 \pm 1.36 \cdot 10^{-3}$
15	$\text{Bi}_5\text{Sb}_2\text{O}_{12}$	155.11	5.37 ± 0.00
16	$\text{Bi}_{16}\text{Sb}_6\text{O}_{37}^*$	155.421	$5.38 \pm 1.01 \cdot 10^{-2}$
17	Bi_3SbO_7	156.20	$5.39 \pm 2.90 \cdot 10^{-4}$
18	$\text{Bi}_{14}\text{Sb}_4\text{O}_{29}$	154.599	$5.37 \pm 3.07 \cdot 10^{-3}$
19	Bi_4SbO_8	157.97	$5.41 \pm 4.0 \cdot 10^{-4}$
20	$\text{Bi}_9\text{Sb}_2\text{O}_{18}$	158.472	$5.41 \pm 8.85 \cdot 10^{-3}$
21	$\text{Bi}_5\text{SbO}_{10}$	155.74	$5.38 \pm 5.30 \cdot 10^{-4}$
22	$\text{Bi}_6\text{SbO}_{11}$	161.15	$5.44 \pm 1.33 \cdot 10^{-2}$
23	$\text{Bi}_{28}\text{Sb}_4\text{O}_{51}$	173.026	$5.57 \pm 2.43 \cdot 10^{-2}$
24	$\text{Bi}_8\text{SbO}_{14}$	175.97	$5.60 \pm 6.32 \cdot 10^{-3}$
25	$\text{Bi}_{18}\text{Sb}_2\text{O}_{31}$	163.902	$5.47 \pm 9.44 \cdot 10^{-3}$

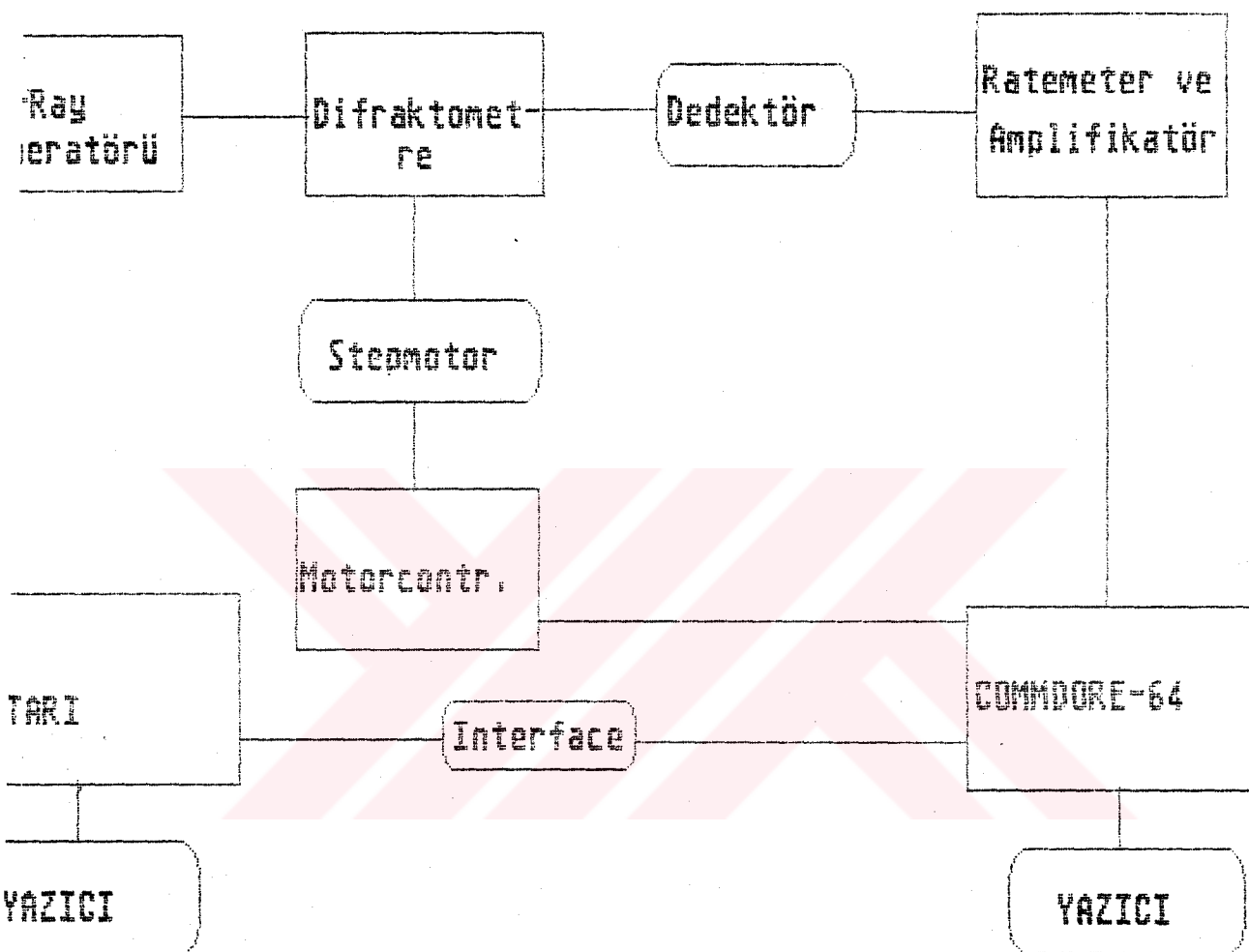
* : Bu faz literatürde mevcuttur.



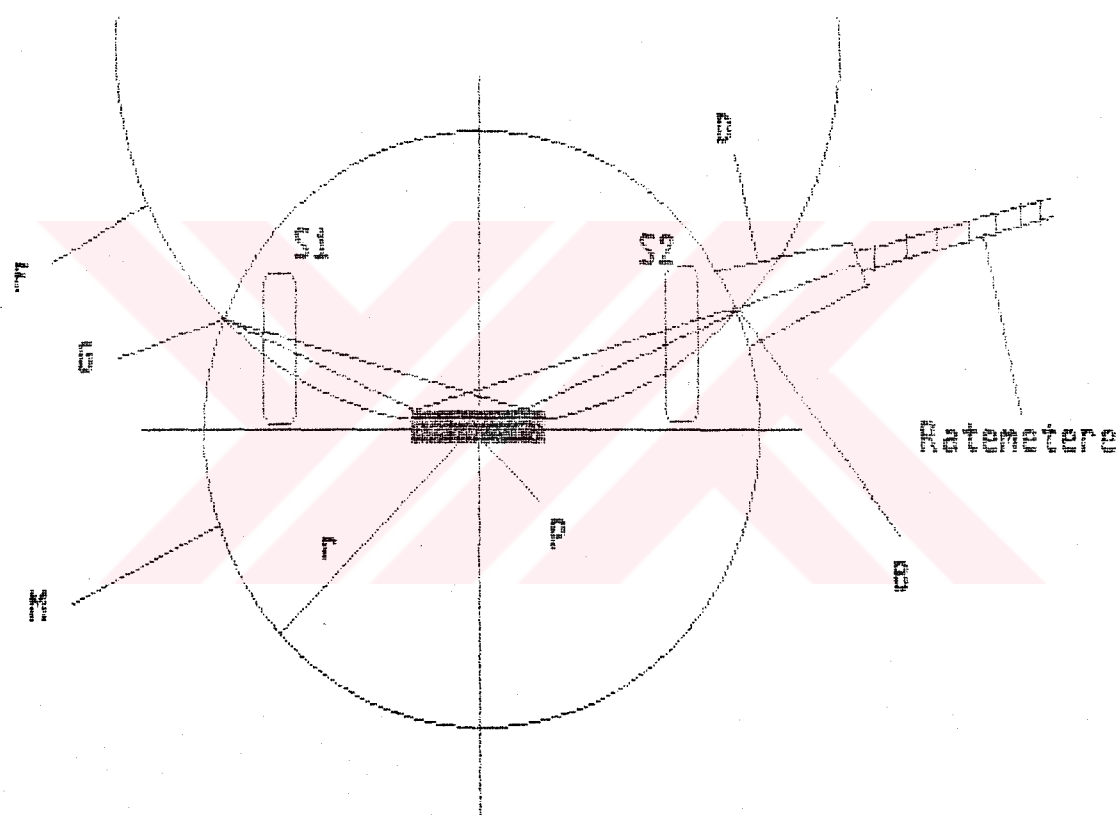
Sekil 4.1. Oluşan fazların birim hücre hacimleri ile Bi_2O_3 'in
mol kesri arasındaki ilişkisi gösteren grafik



Sekil 4.1. Oluşan fazların birim hücre sabitleri ile Bi_2O_3 'in mol kesri arasındaki ilişkili gösteren grafik



Şekil.2.1.X-Ray Toz Difraktometresinin Kapalı Devre Şeması



Şekil.2.2.Difraktometrenin Sematik Görünümü

S1,S2:Silitler

D : Dedektör

F : Fokuslama ya da odaklama çemberi
(Bragg-Brentano Eksenii)

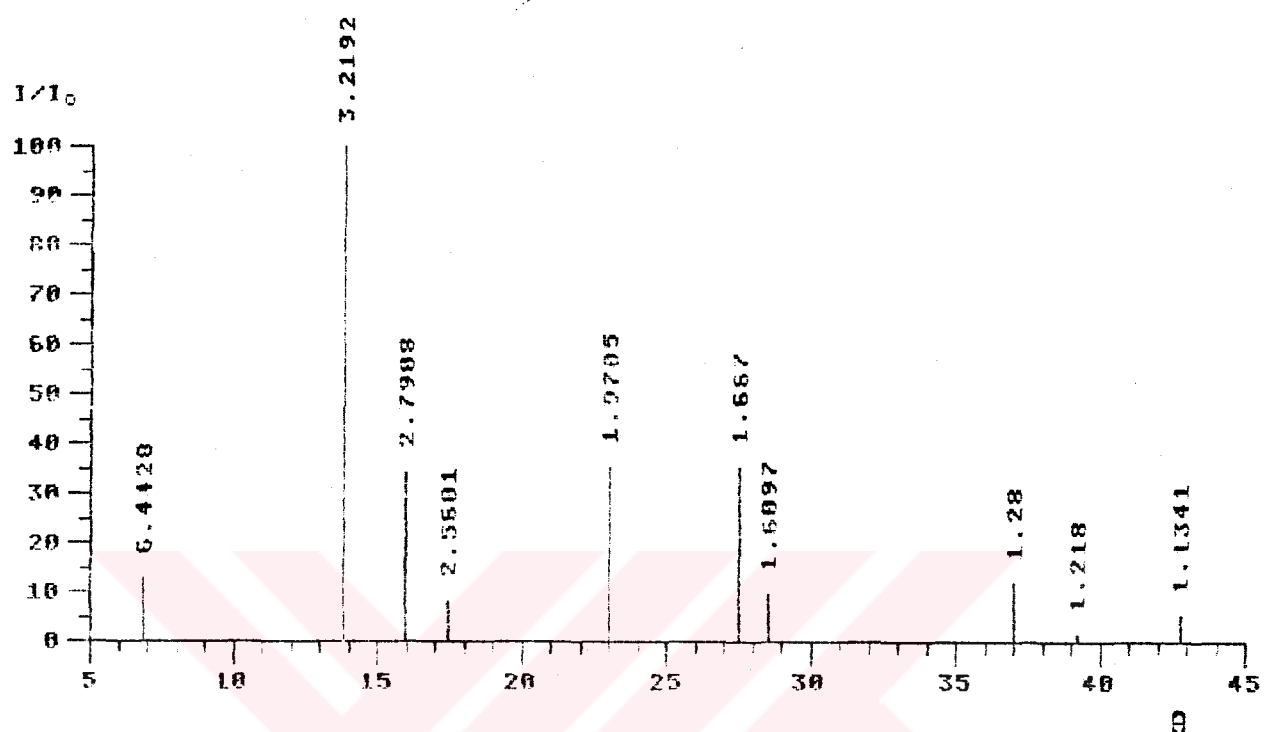
r : Difraktometre eksenin yarıçapı

P : Preperat (Toz Numune)

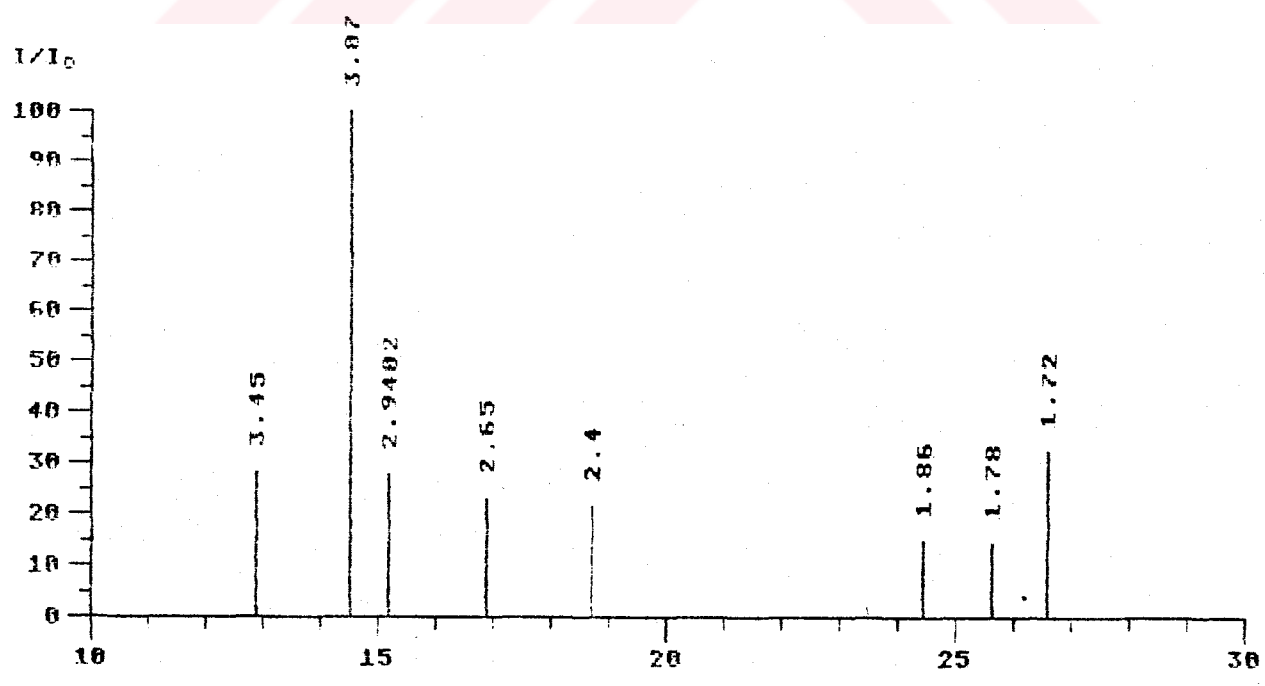
M : Difraktometre eksenii

G : Monokromatize ışınların difraktometreye giriş noktası

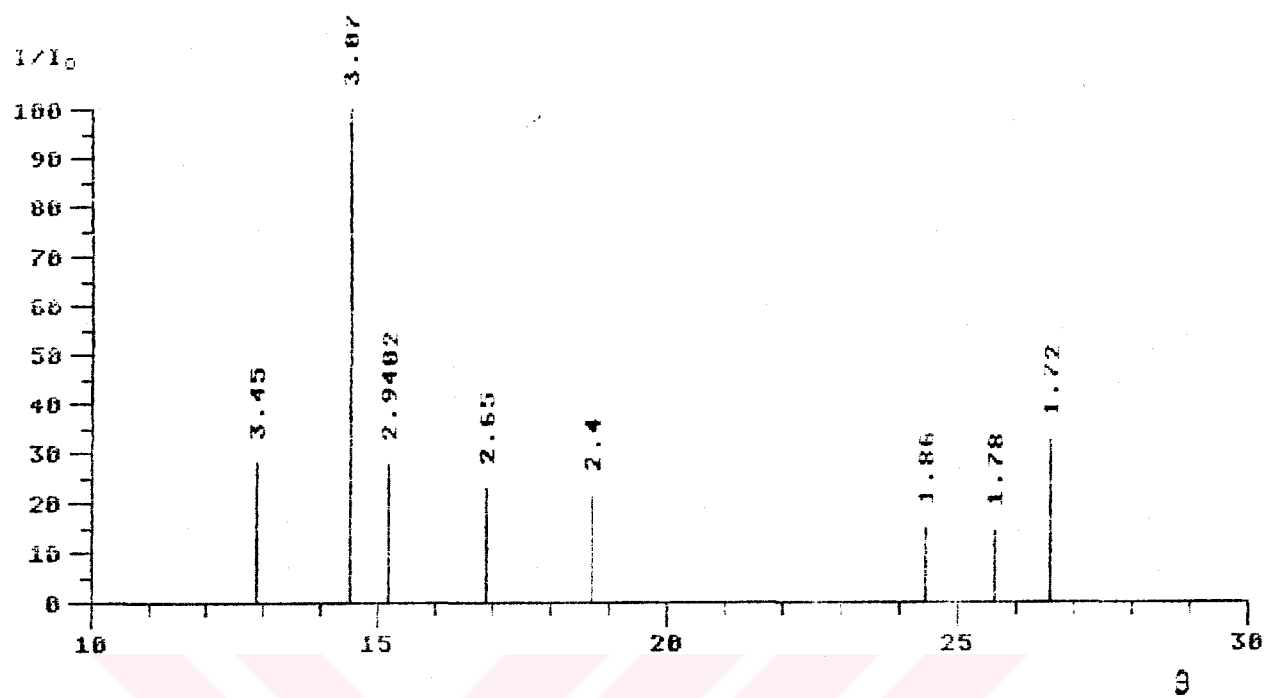
B : Çıkış noktası



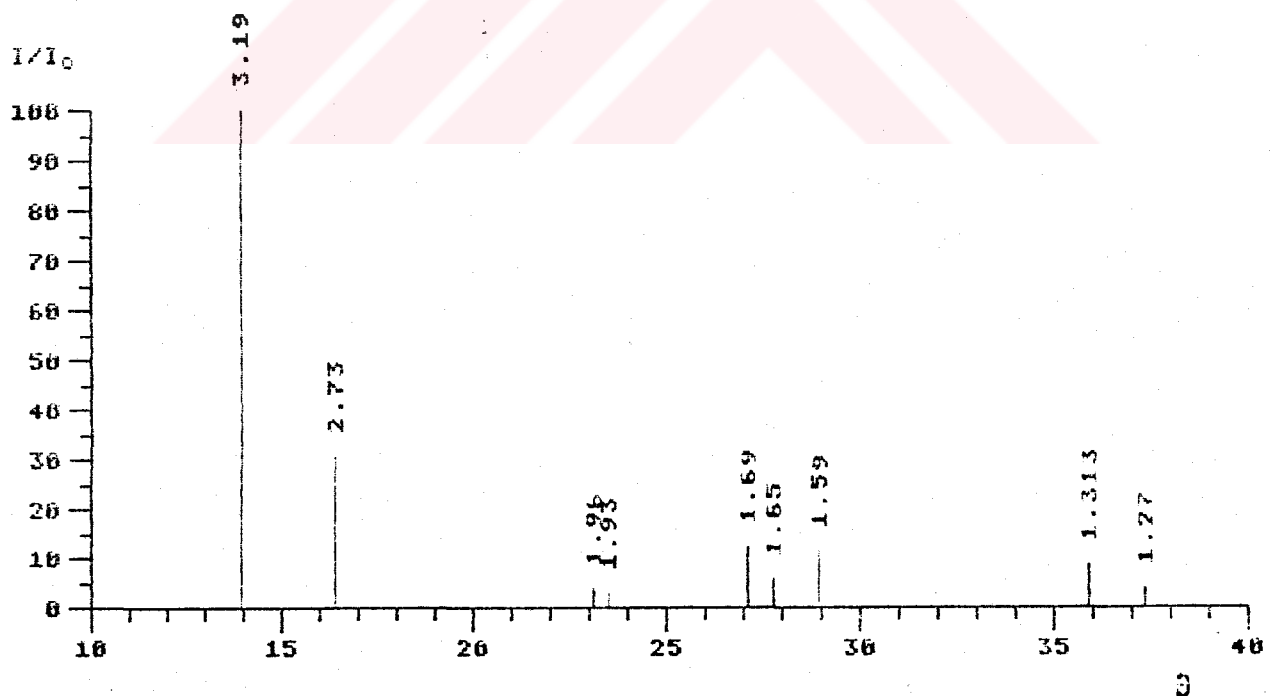
Sekil 3.1. Saf Sb_2O_3 'in x-ışınları çizgi diyagramı



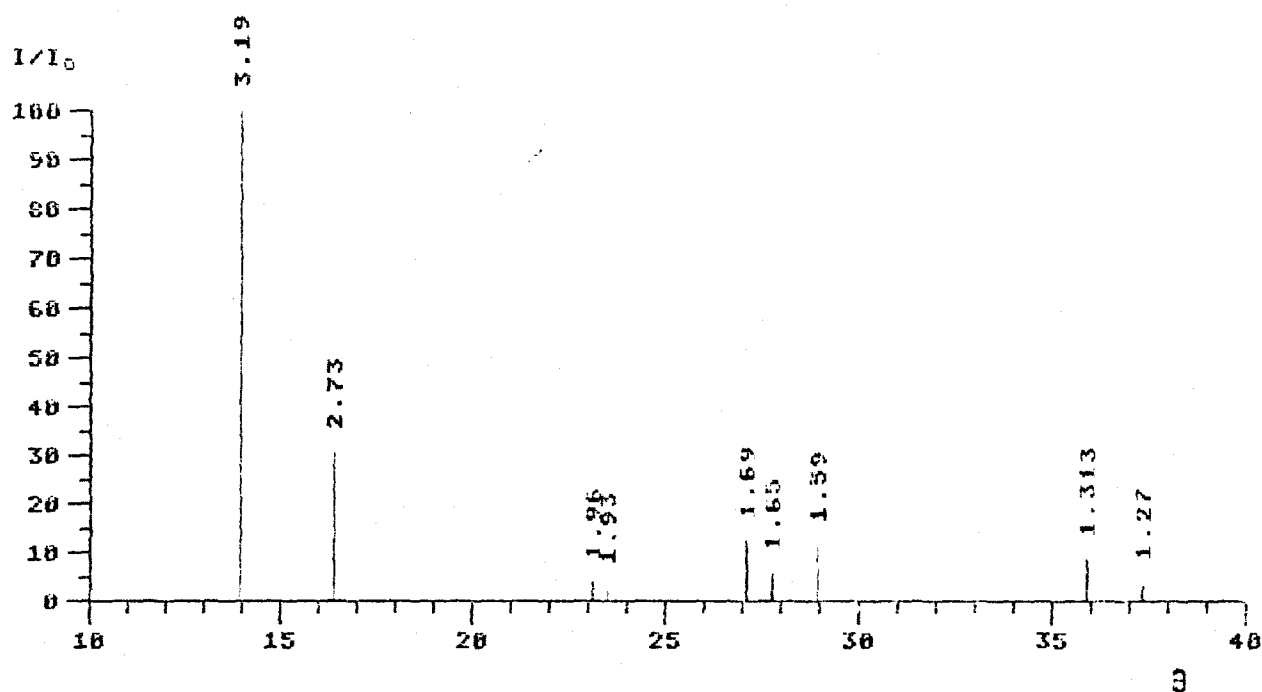
Sekil 3.2. $650^{\circ}C$ de fırınlanmış Sb_2O_3 'in x-ışınları çizgi
diyagramı



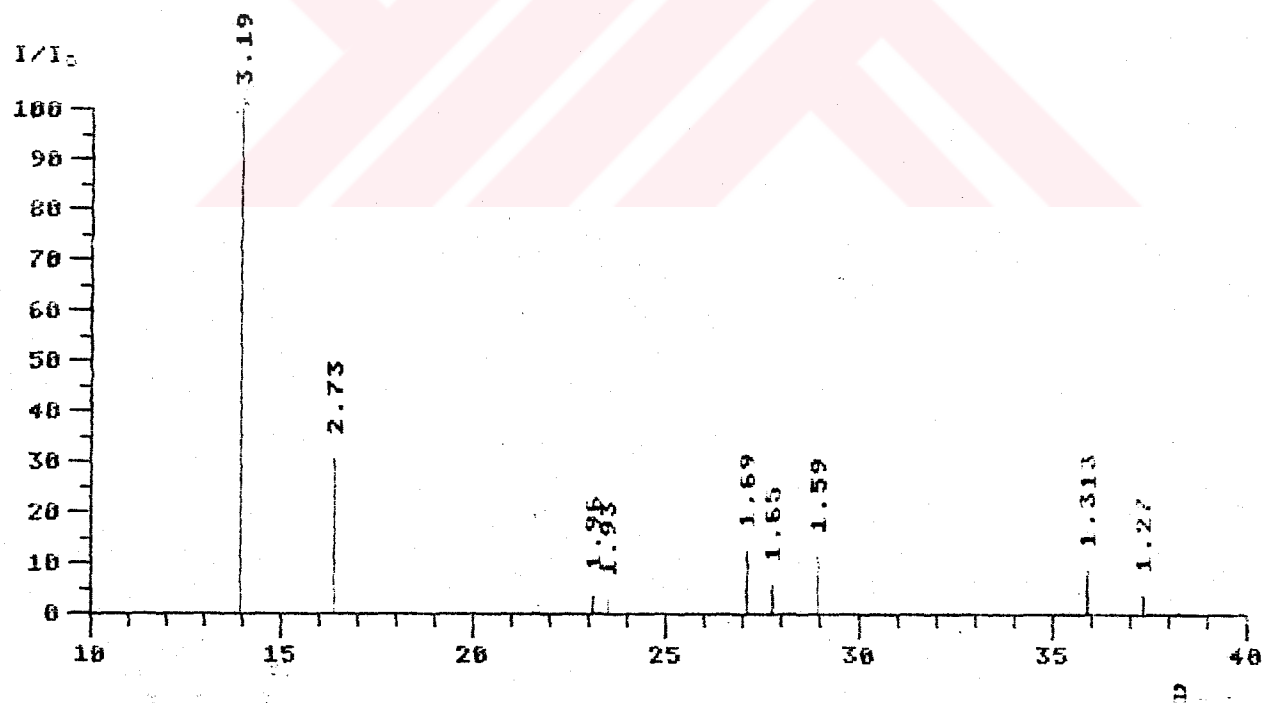
Sekil 3.3. 750°C 'de fırınlanmış Sb_2O_3 'un x-ışınları çizgi diyagramı



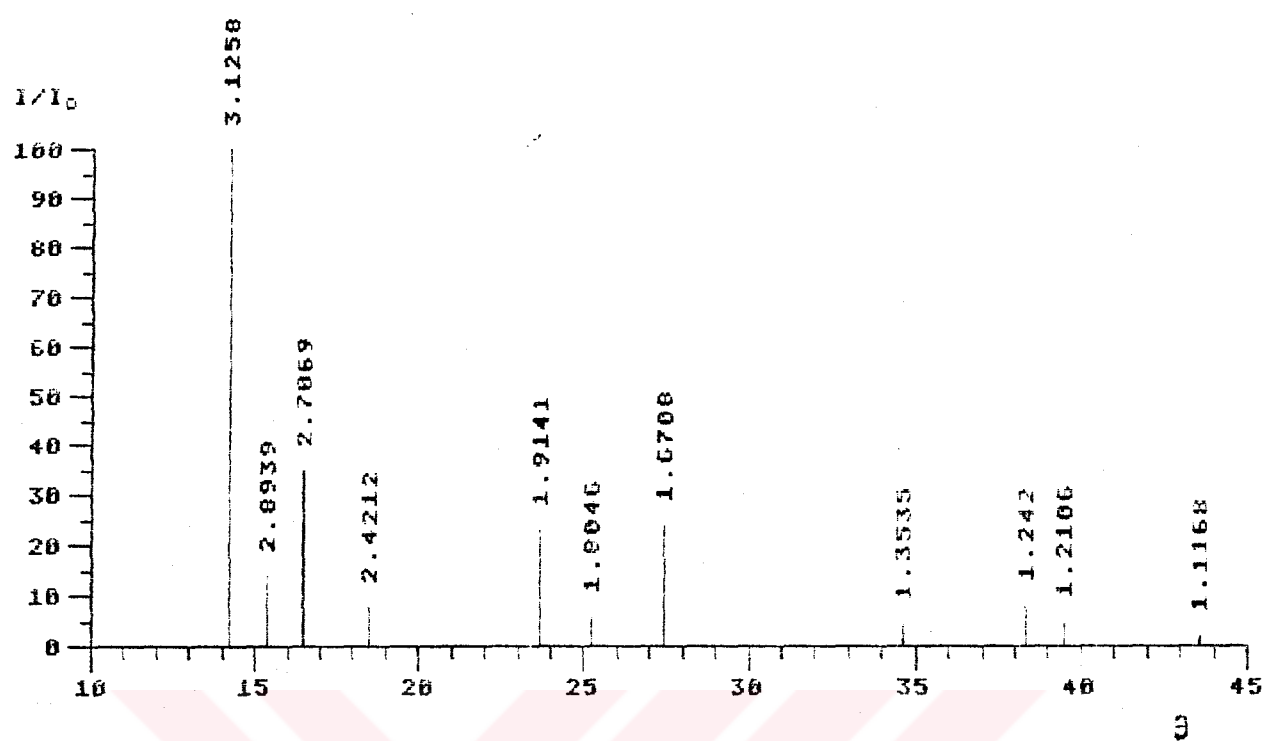
Sekil 3.4. Saf Bi_2O_3 'un x-ışınları çizgi diyagramı



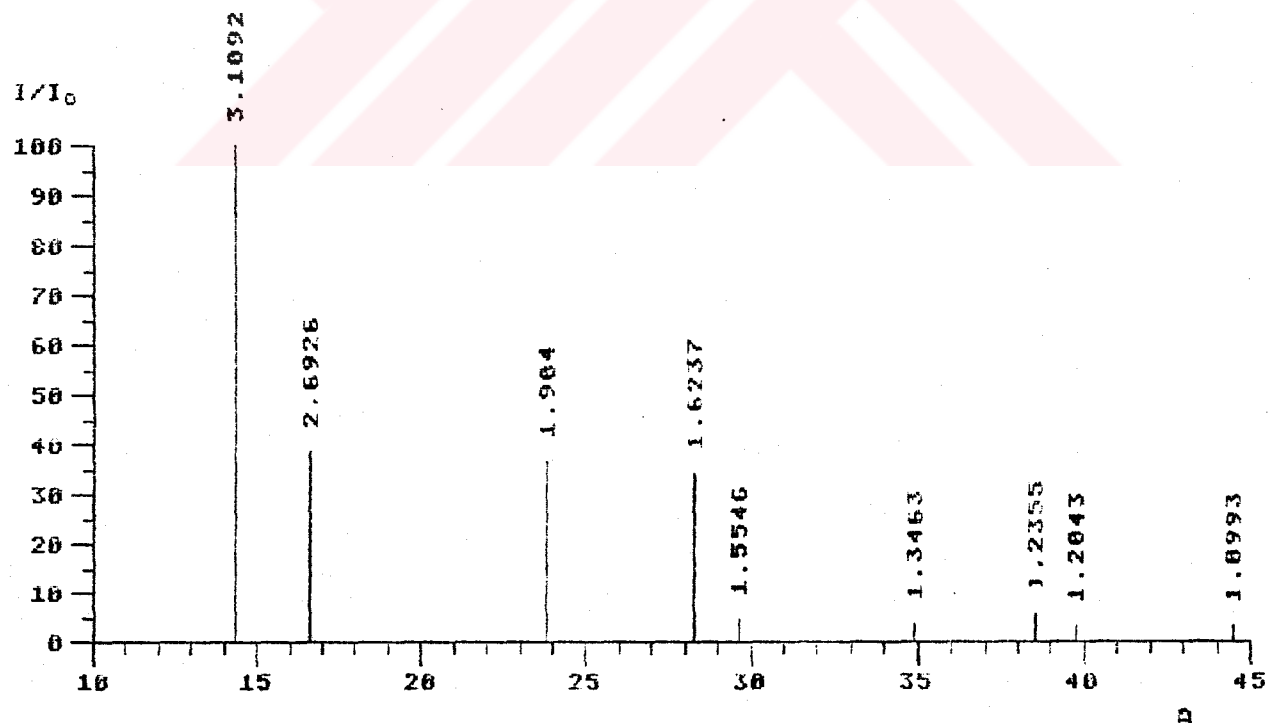
Sekil 3.5. 650°C 'de fırınlanmış Bi_2O_3 'in x-ışınları çizgi diyagramı



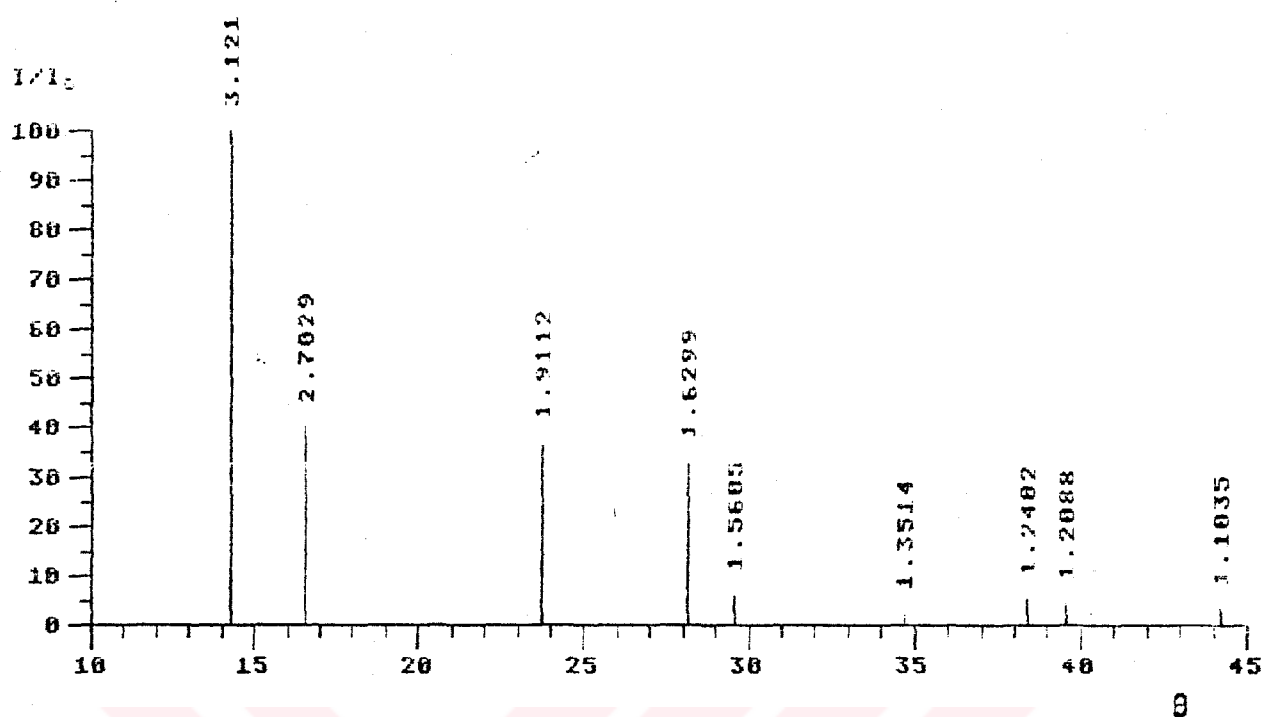
Sekil 3.6. 750°C 'de fırınlanmış Bi_2O_3 'in x-ışınları çizgi diyagramı



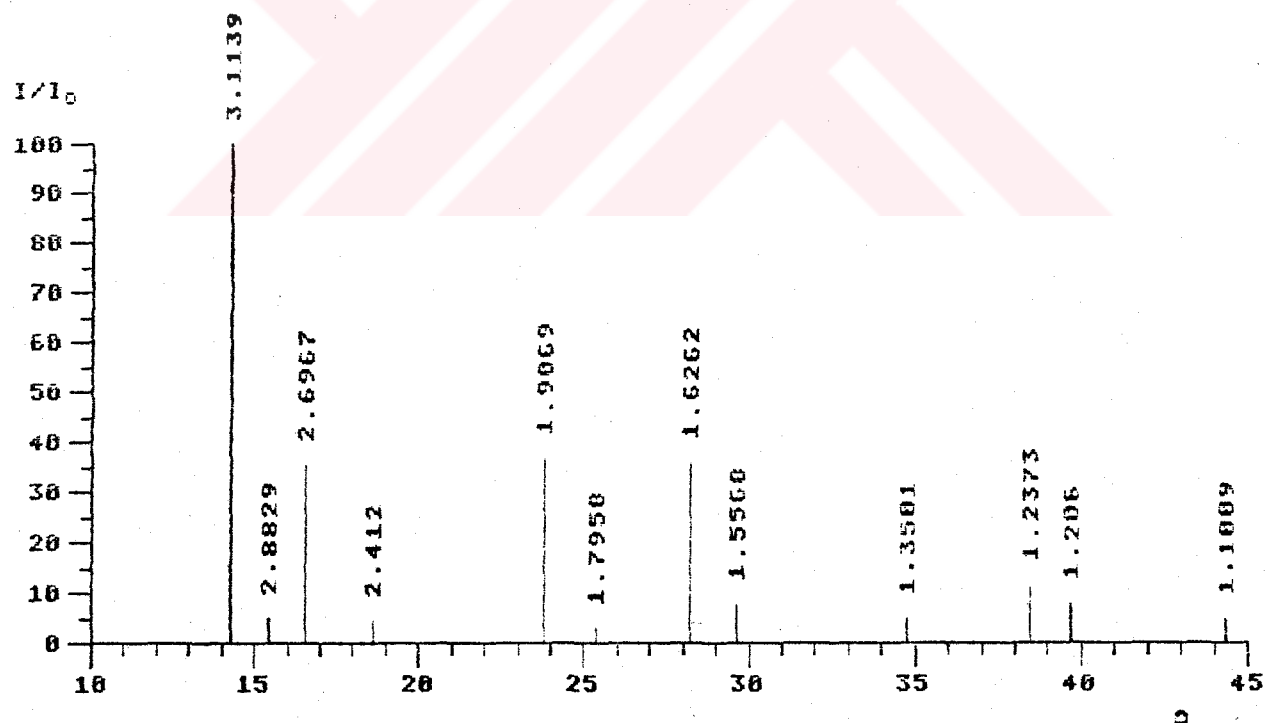
Sekil 3.7. BiSbO_4 fazının x-ışınları çizgi diyagramı



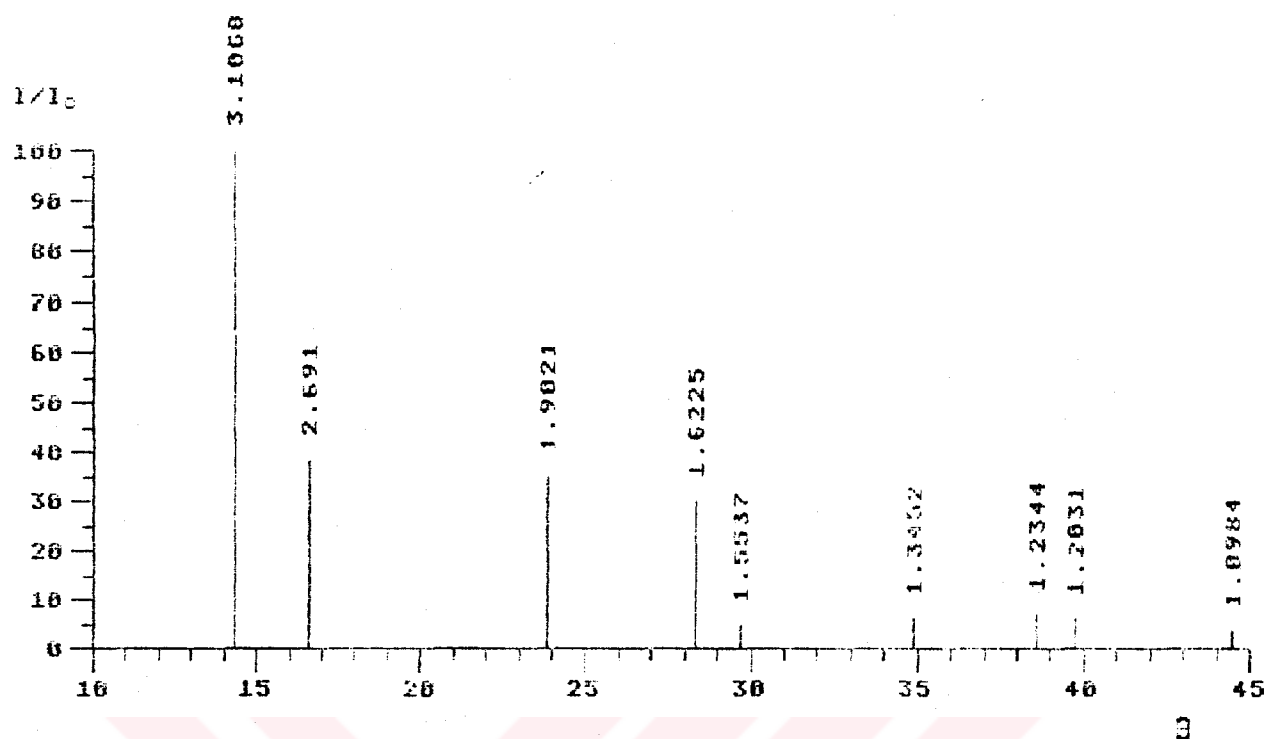
Sekil 3.8. Bi_3SbO_7 fazının x-ışınları çizgi diyagramı



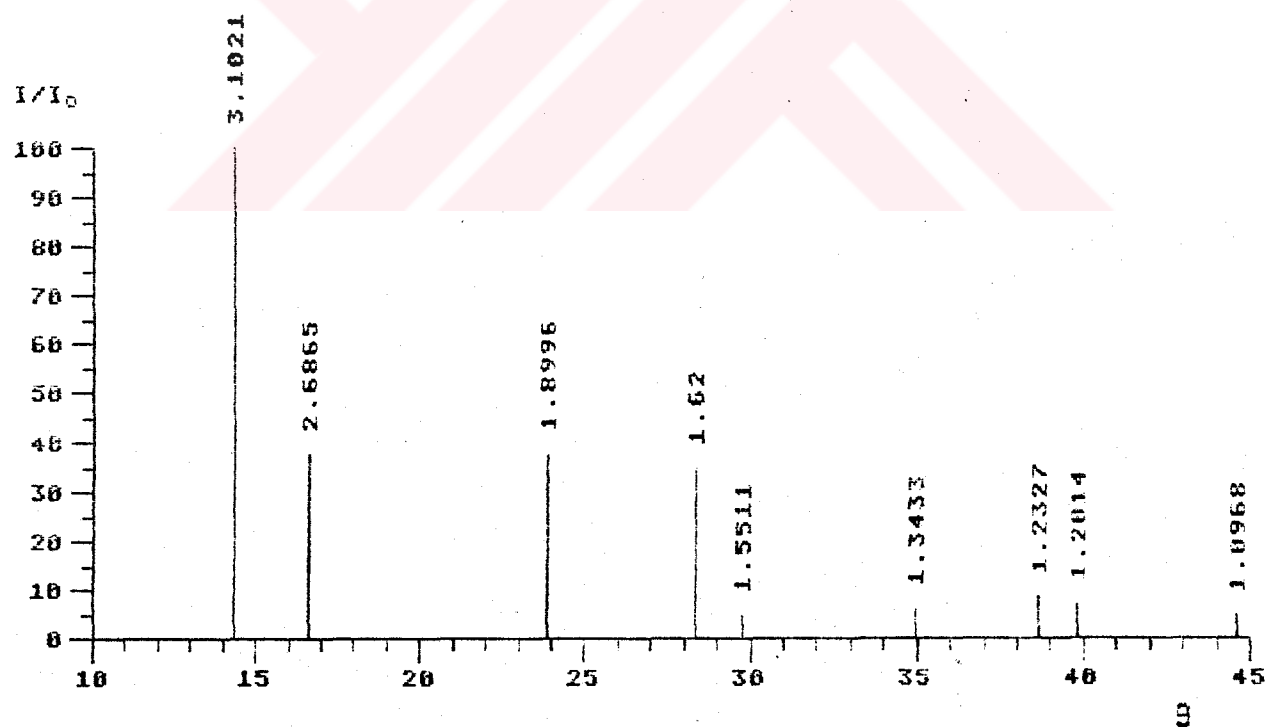
Sekil 3.9. Bi_4SbO_8 fazının x-ışınları çizgi diyagramı



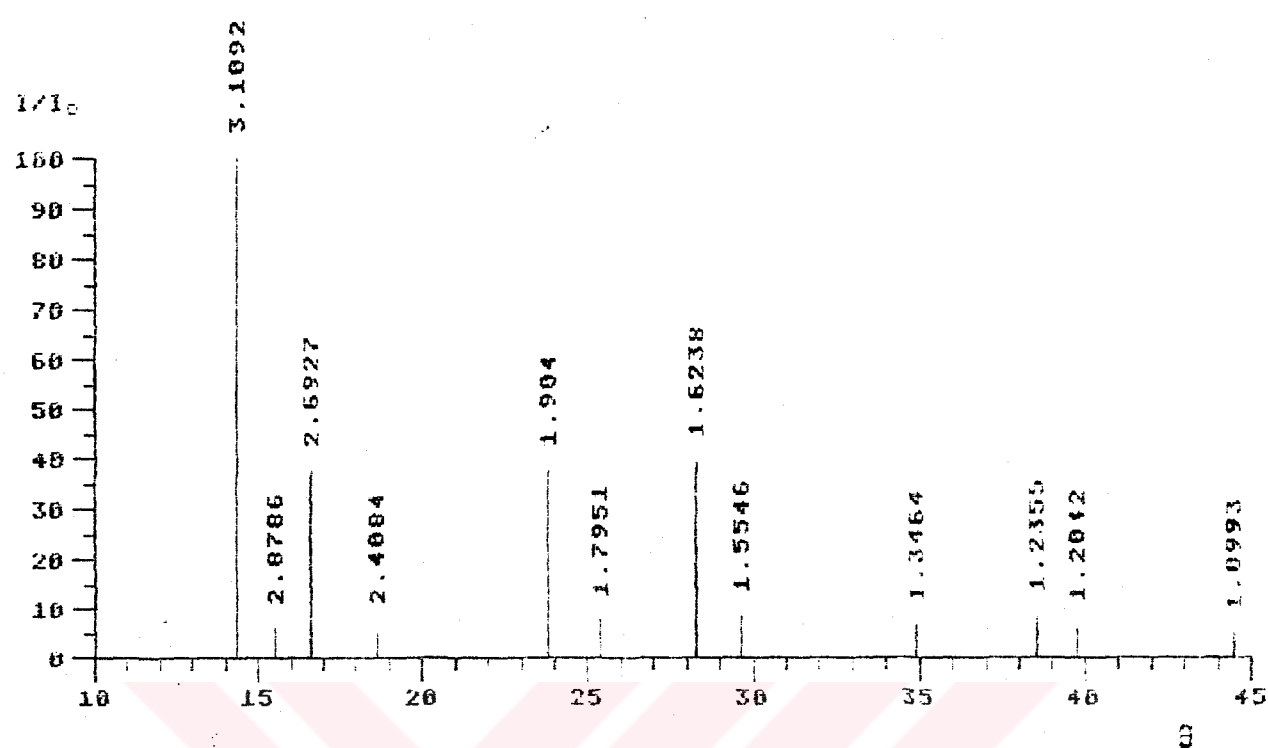
Sekil 3.10. Bi_2SbO_5 fazının x-ışınları çizgi diyagramı



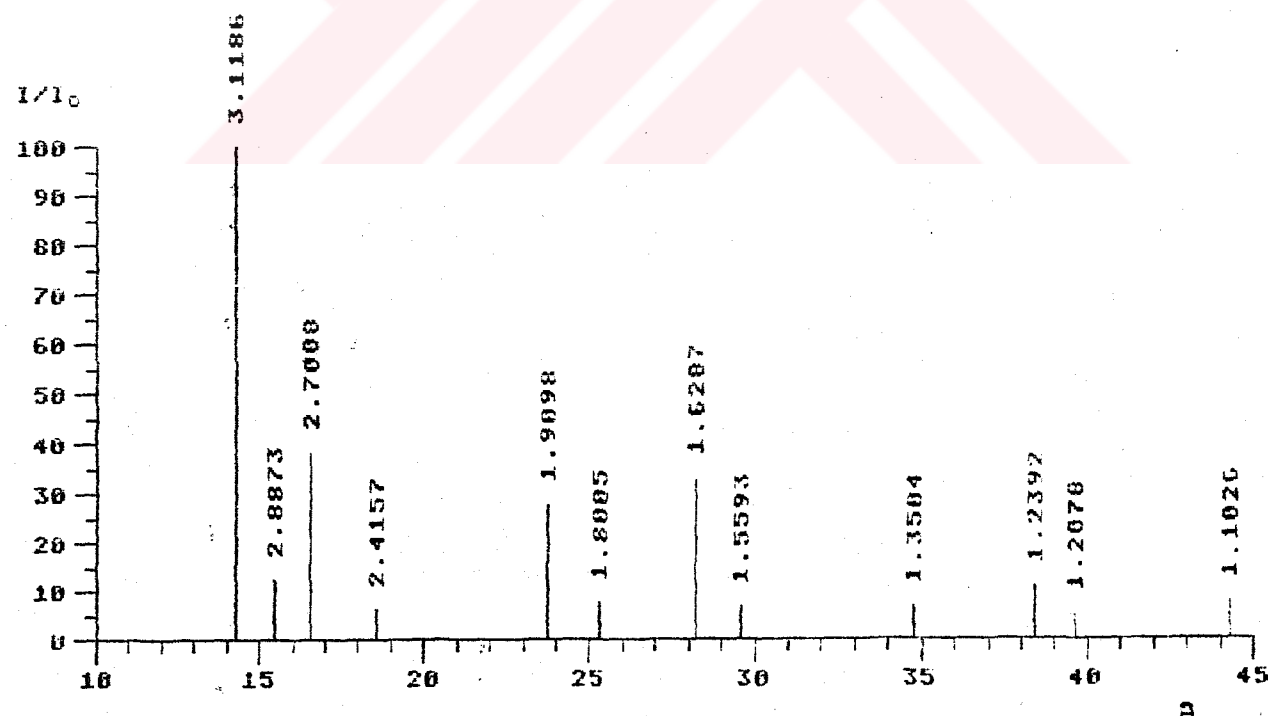
Sekil 3.11. $\text{Bi}_{5}\text{SbO}_{10}$ fazının x-ışınları çizgi diyagramı



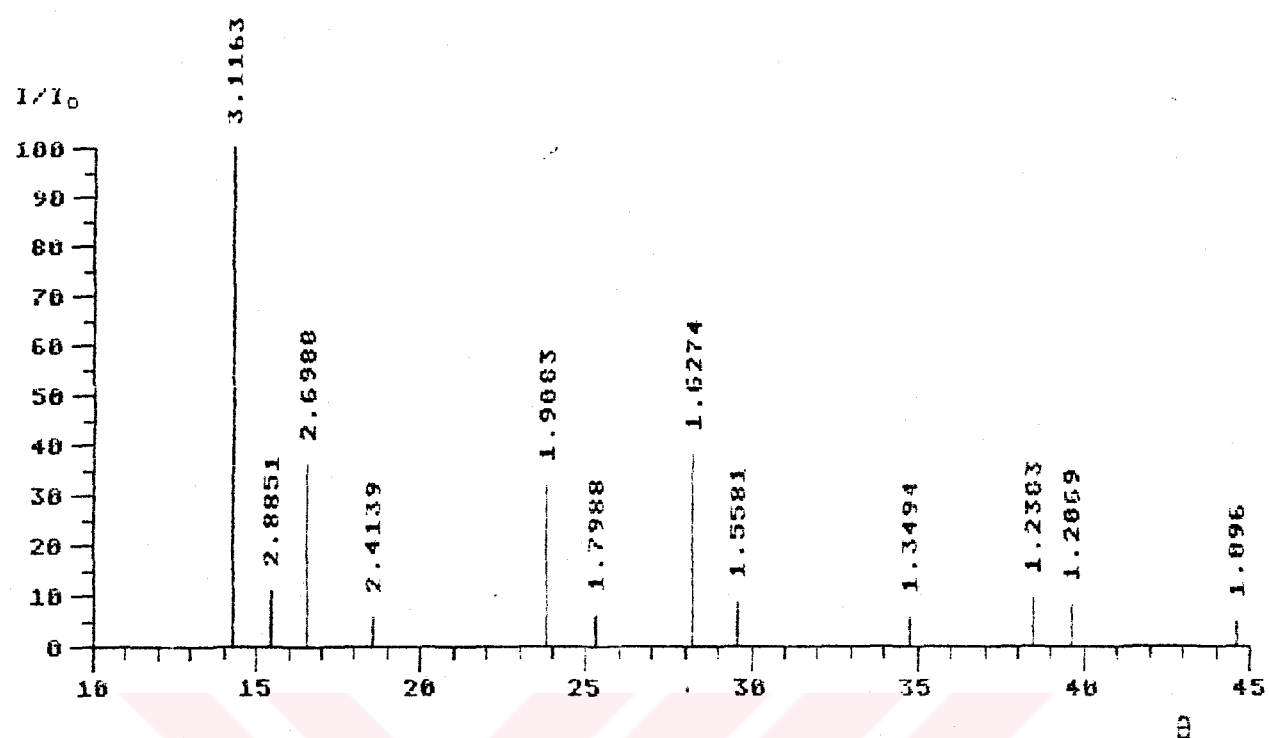
Sekil 3.12. $\text{Bi}_{5}\text{Sb}_{2}\text{O}_{12}$ fazının x-ışınları çizgi diyagramı



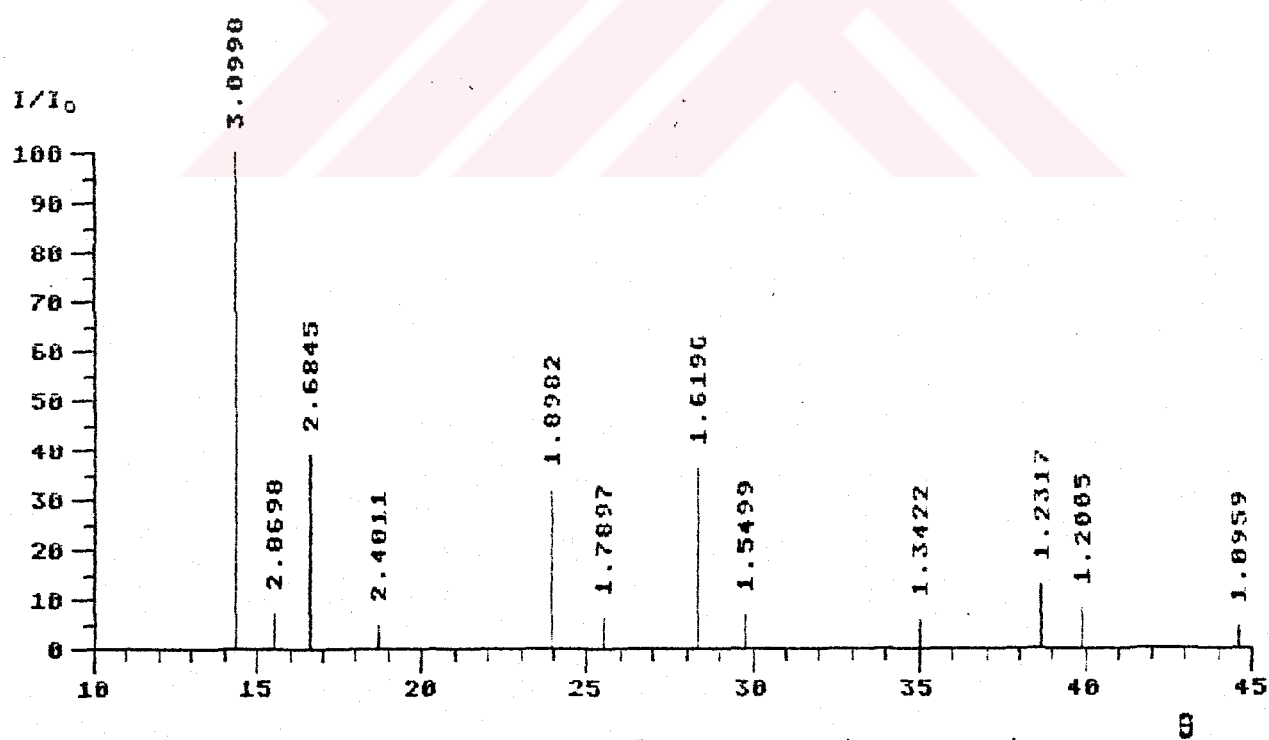
Sekil 3.13. $\text{Bi}_5\text{SbO}_{14}$ fazının x-ışınları çizgi diyagramı



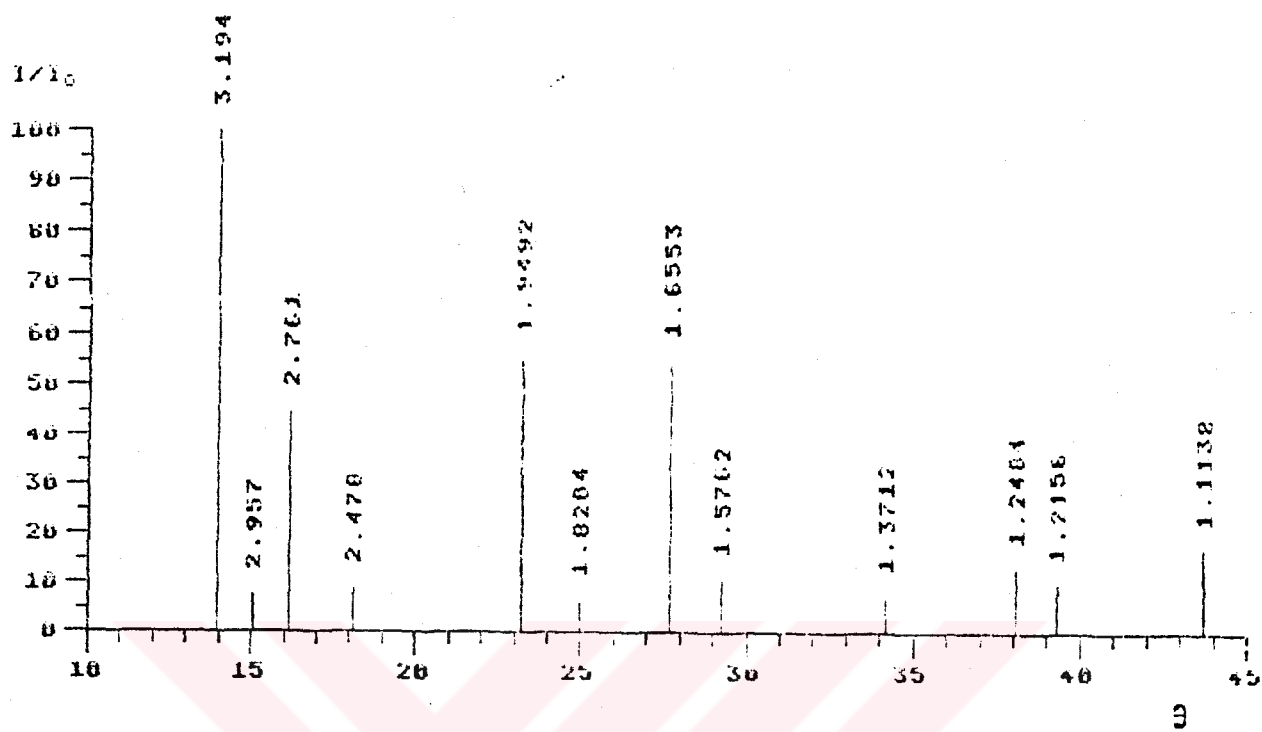
Sekil 3.14. $\text{Bi}_5\text{Sb}_4\text{O}_{16}$ fazının x-ışınları çizgi diyagramı



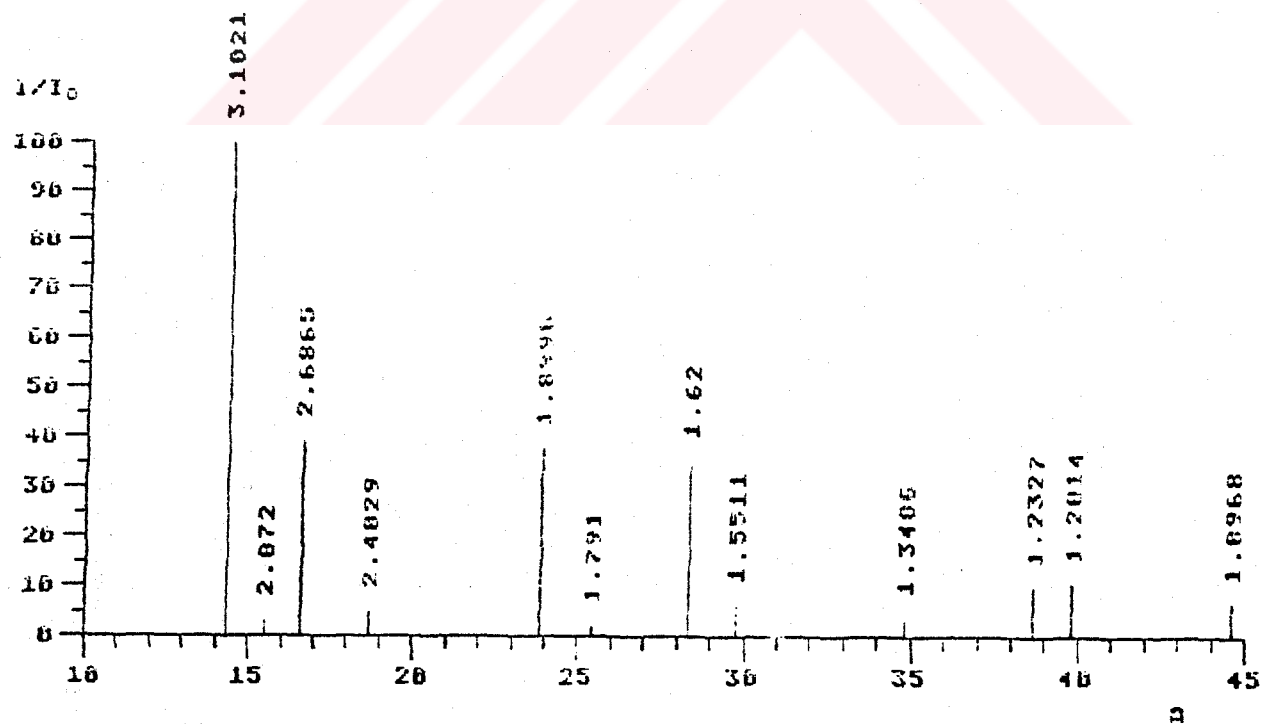
Sekil 3.15. $\text{Bi}_4\text{Sb}_3\text{O}_{12}$ fazının x-ışınları çizgi diyagramı



Sekil 3.16. $\text{Bi}_7\text{Sb}_5\text{O}_{22}$ fazının x-ışınları çizgi diyagramı

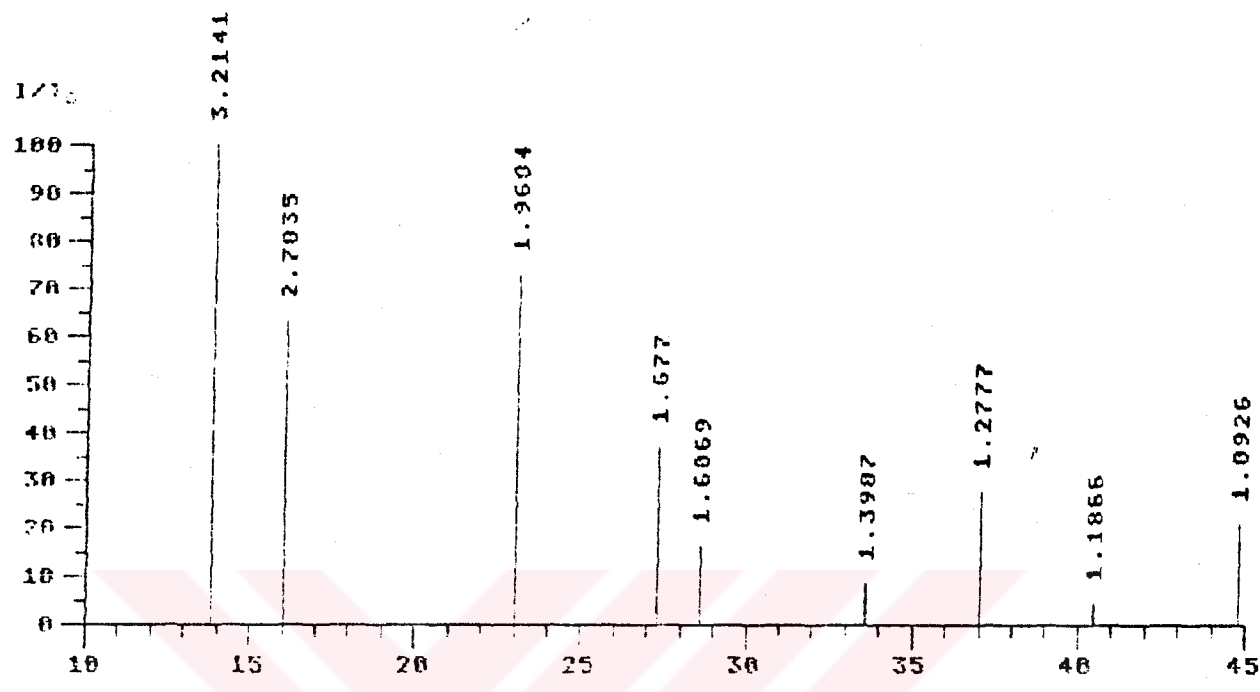


Sekil 3.18. $\text{Bi}_7\text{Sb}_4\text{O}_{20}$ fazının x-işinleri çizgi diyagramı

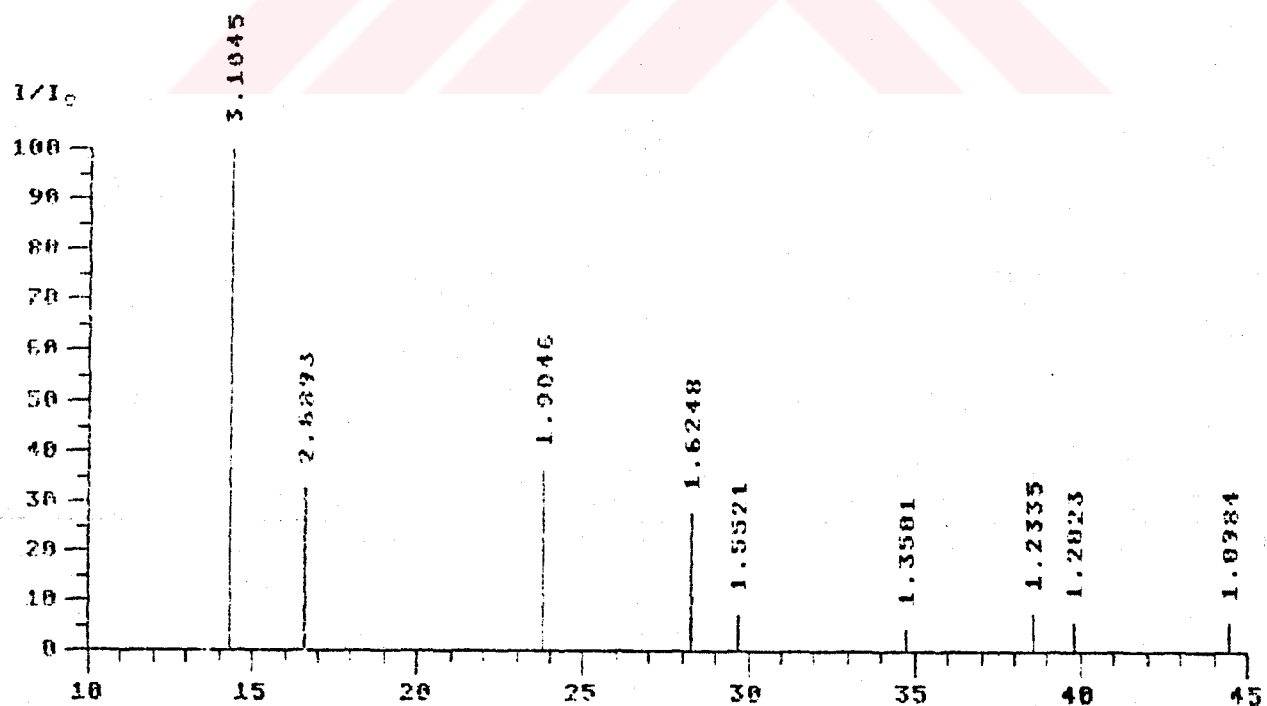


Sekil 3.18. $\text{Bi}_7\text{Sb}_3\text{O}_{13}$ fazının x-işinleri çizgi diyagramı

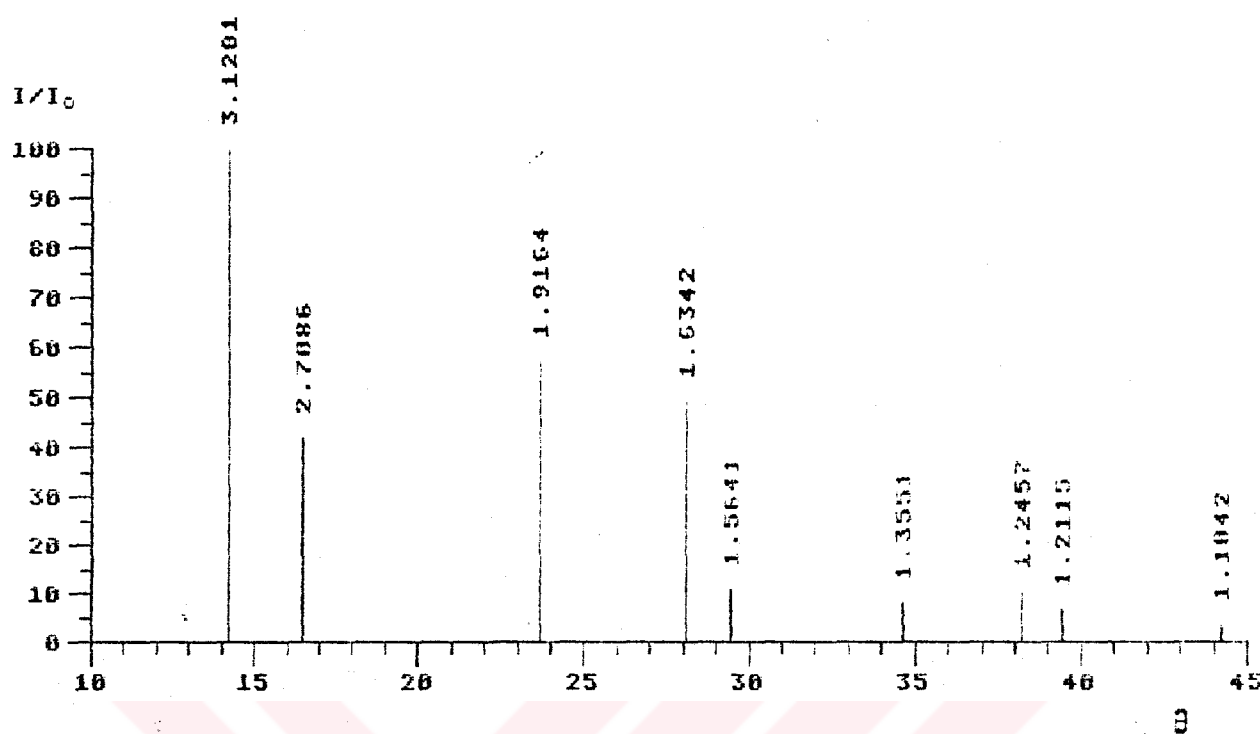
- 69



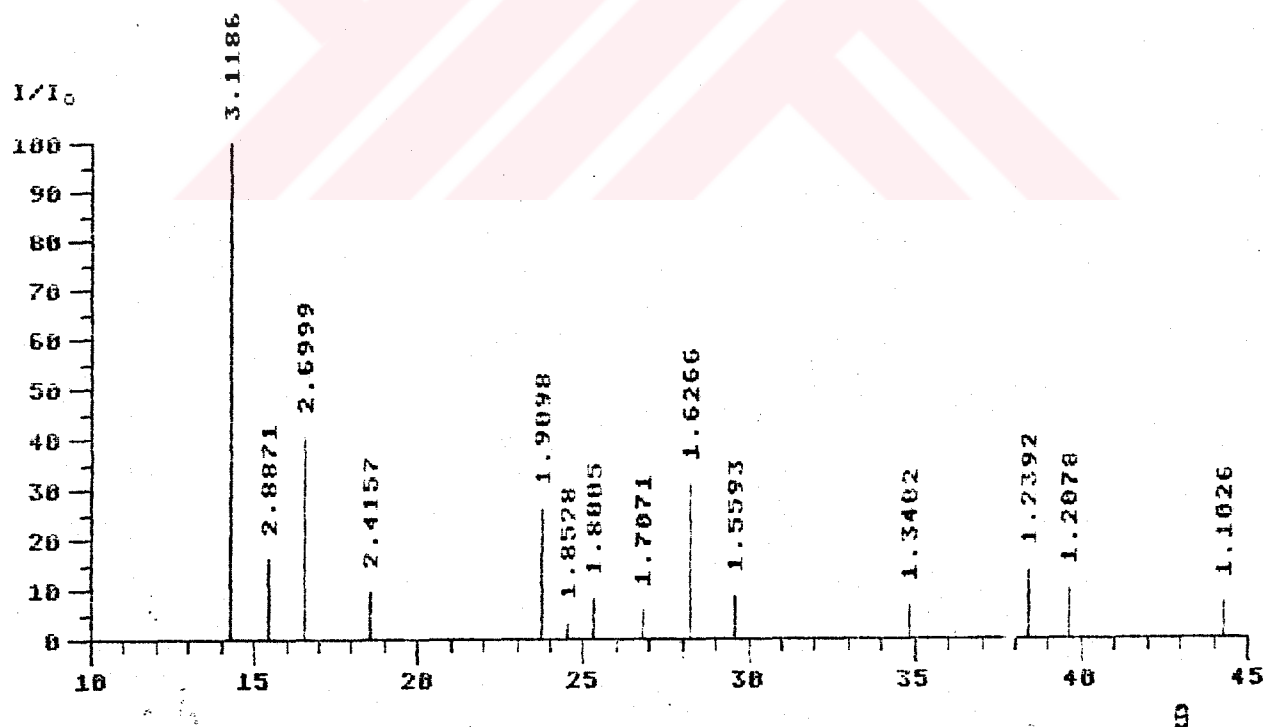
Sekil 3.19. $\text{Bi}_{28}\text{Sb}_4\text{O}_{51}$ fazının x-ışınları çizgi diyagramı



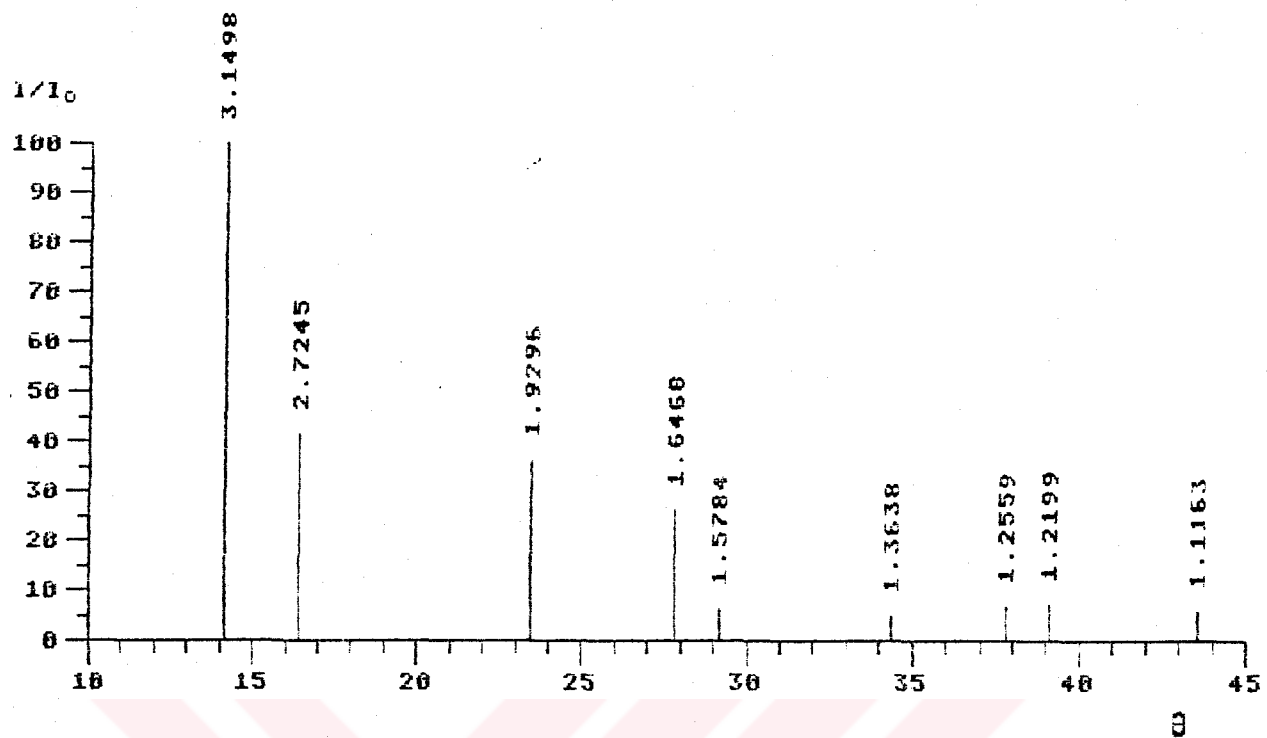
Sekil 3.20. $\text{Bi}_{16}\text{Sb}_6\text{O}_{37}$ fazının x-ışınları çizgi diyagramı



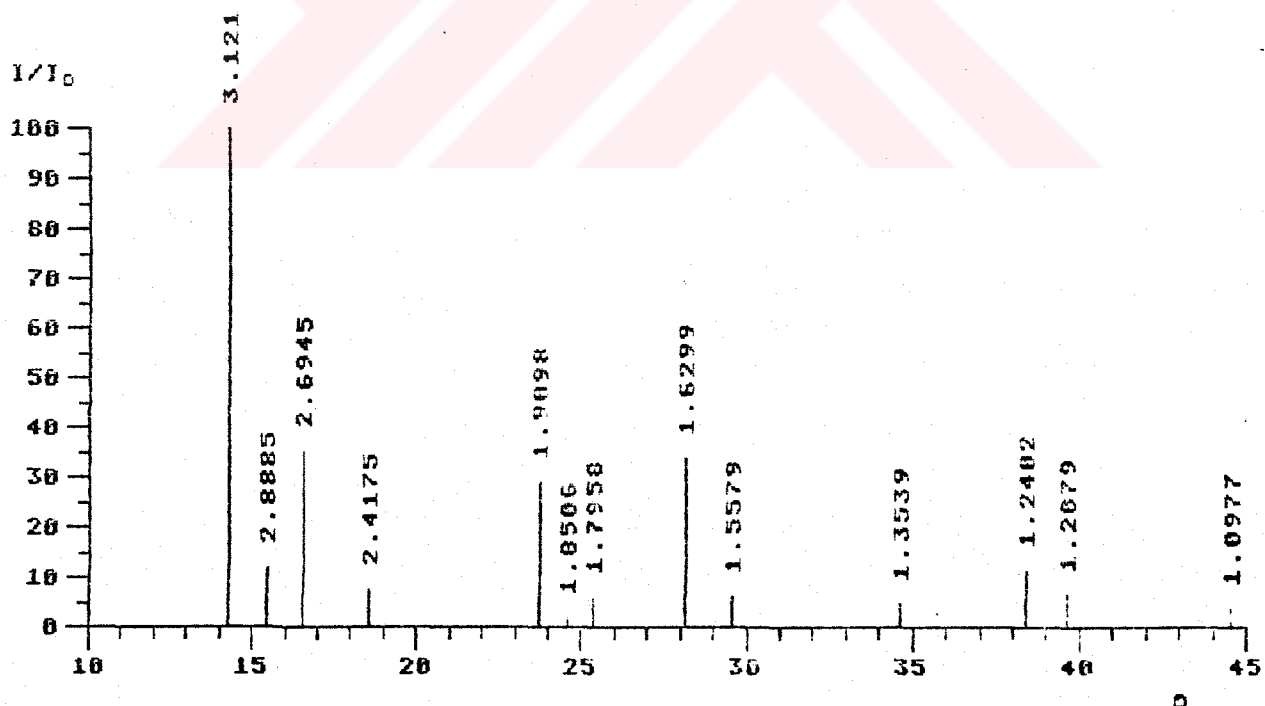
Sekil 3.21. $\text{Bi}_9\text{Sb}_2\text{O}_{18}$ fazının x-ışınları çizgili diyagramı



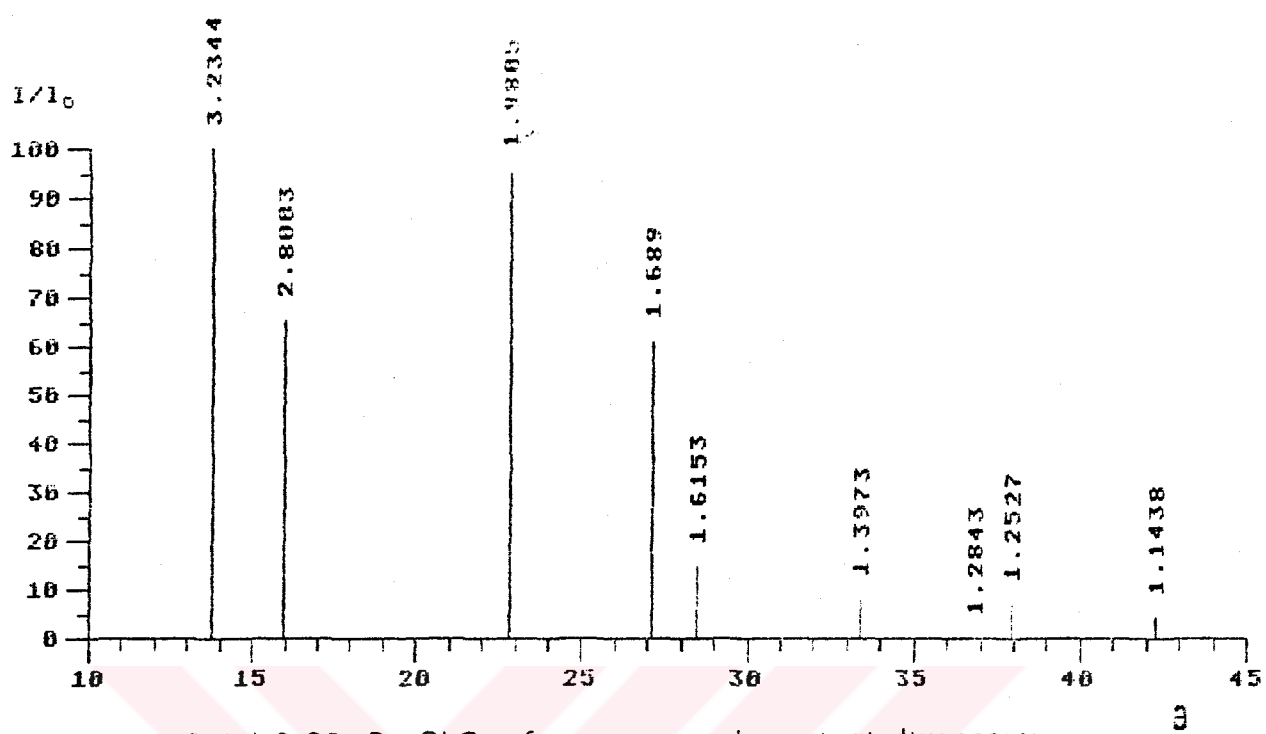
Sekil 3.22. $\text{Bi}_6\text{Sb}_5\text{O}_{14}$ fazının x-ışınları çizgili diyagramı



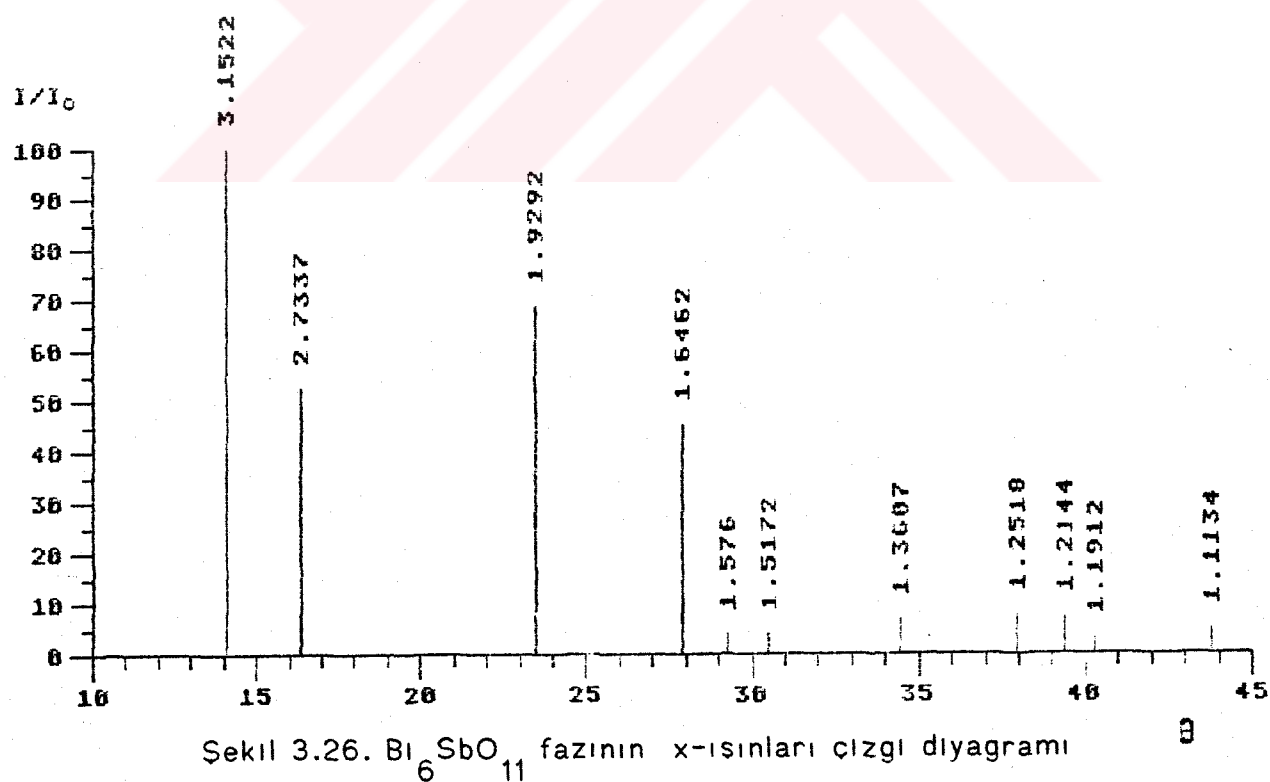
Sekil 3.23. $\text{Bi}_{18}\text{Sb}_2\text{O}_{31}$ fazının x-ışınları çizgi diyagramı



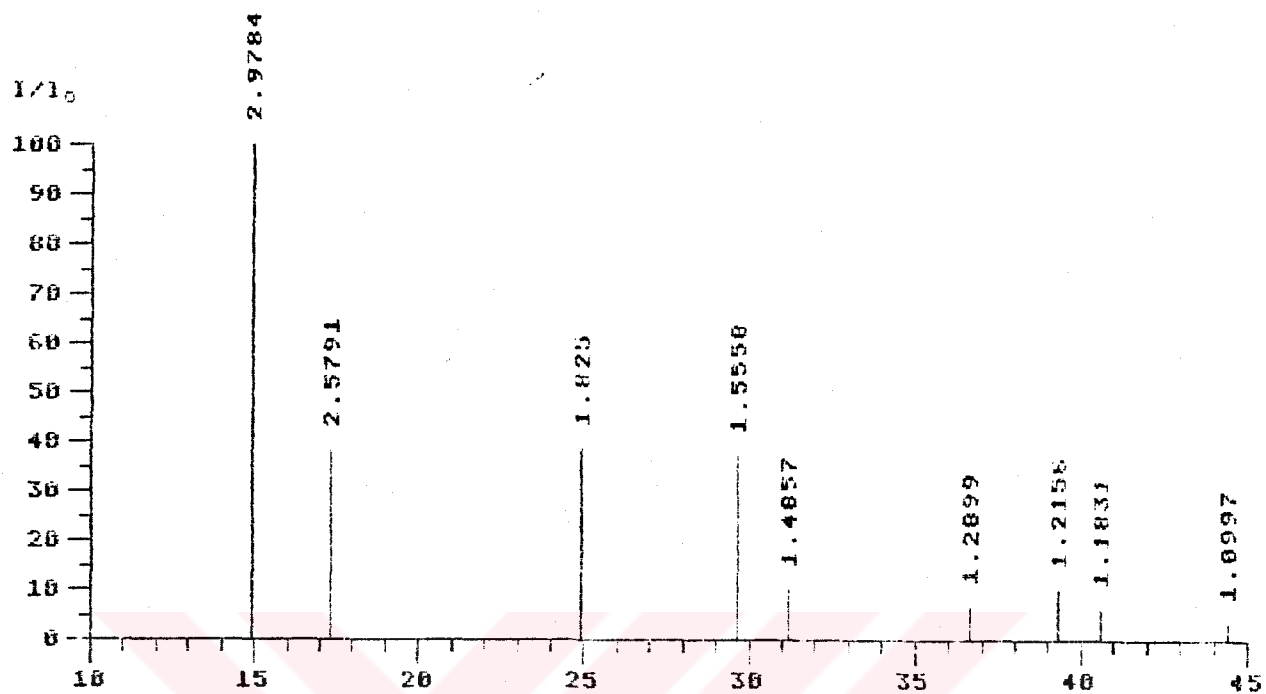
Sekil 3.24. $\text{Bi}_2\text{Sb}_8\text{O}_{35}$ fazının x-ışınları çizgi diyagramı



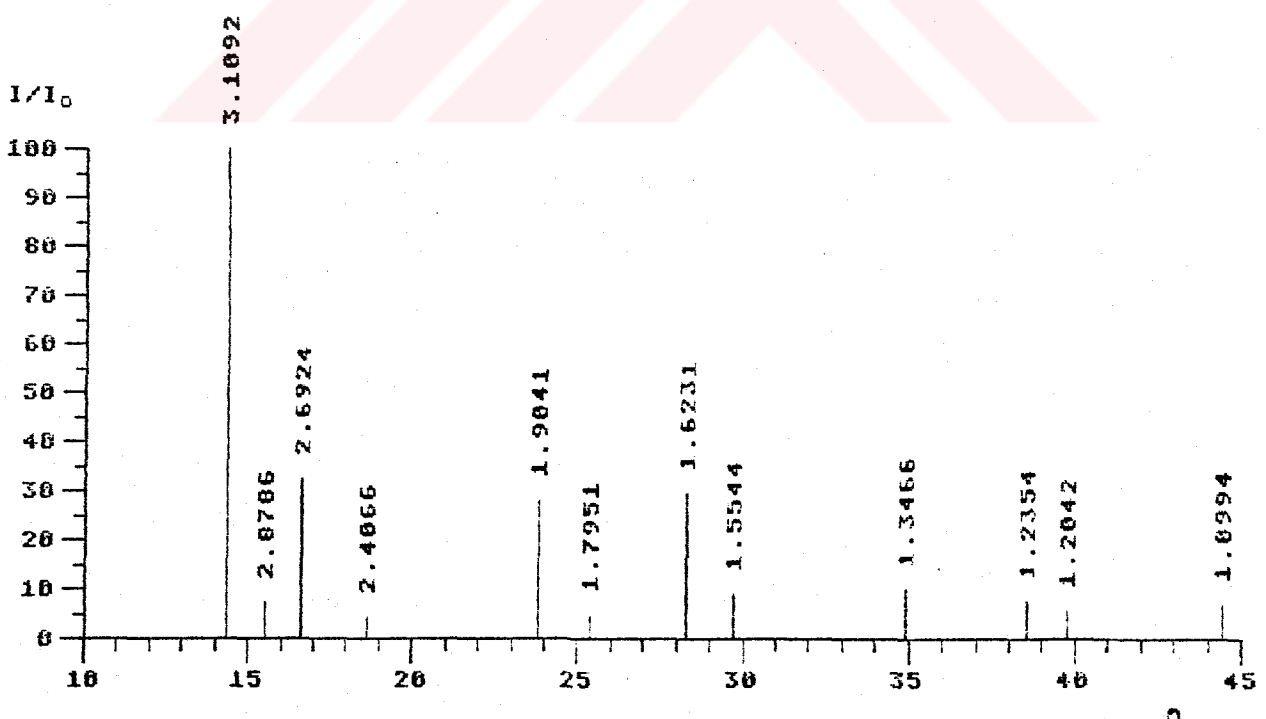
Sekil 3.26. $\text{Bi}_8\text{SbO}_{14}$ fazının x-ışınları çizgi diyagramı



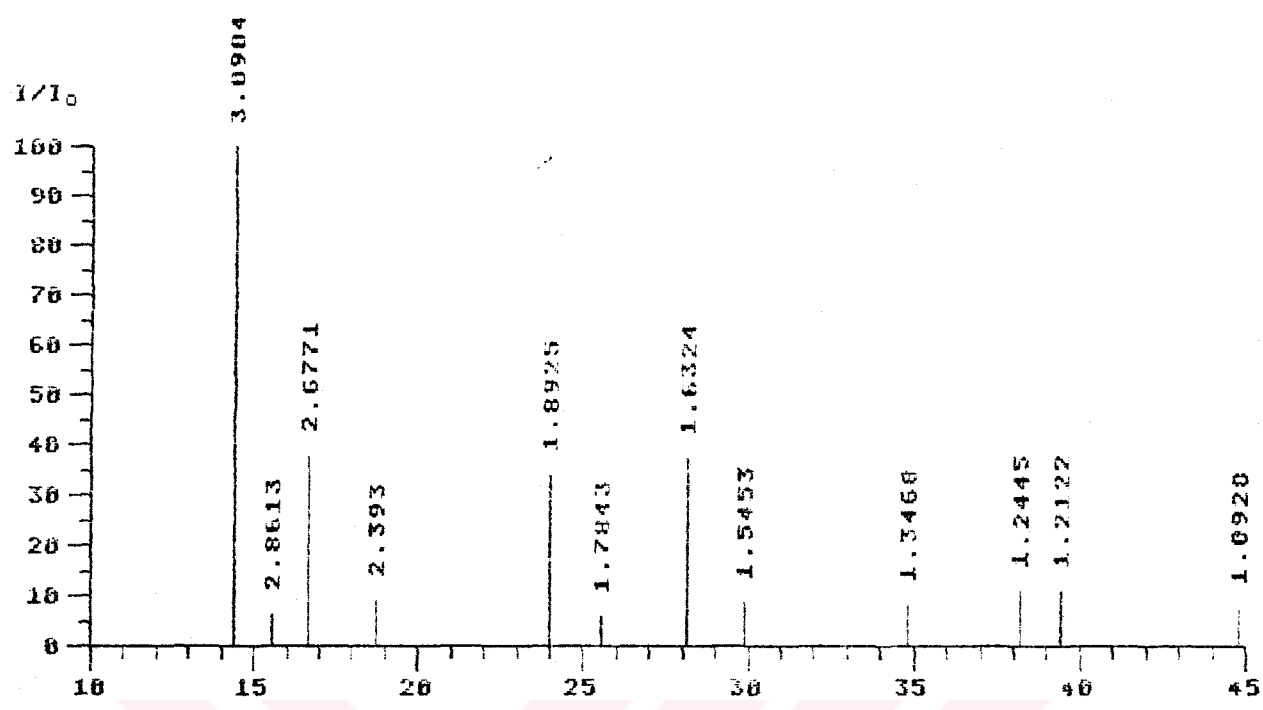
Sekil 3.26. $\text{Bi}_6\text{SbO}_{11}$ fazının x-ışınları çizgi diyagramı



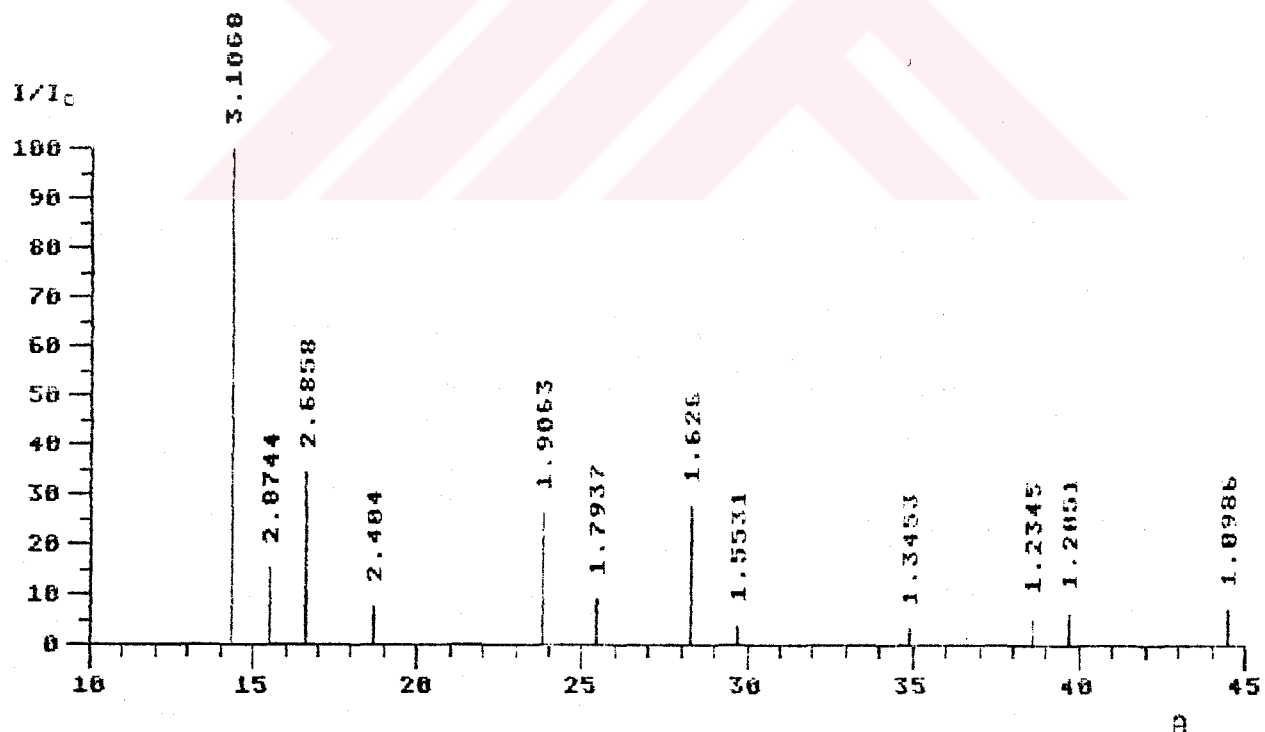
Sekil 3.27. $\text{Bi}_9\text{Sb}_4\text{O}_{21}$ fazının x-ışınları çizgi diyagramı



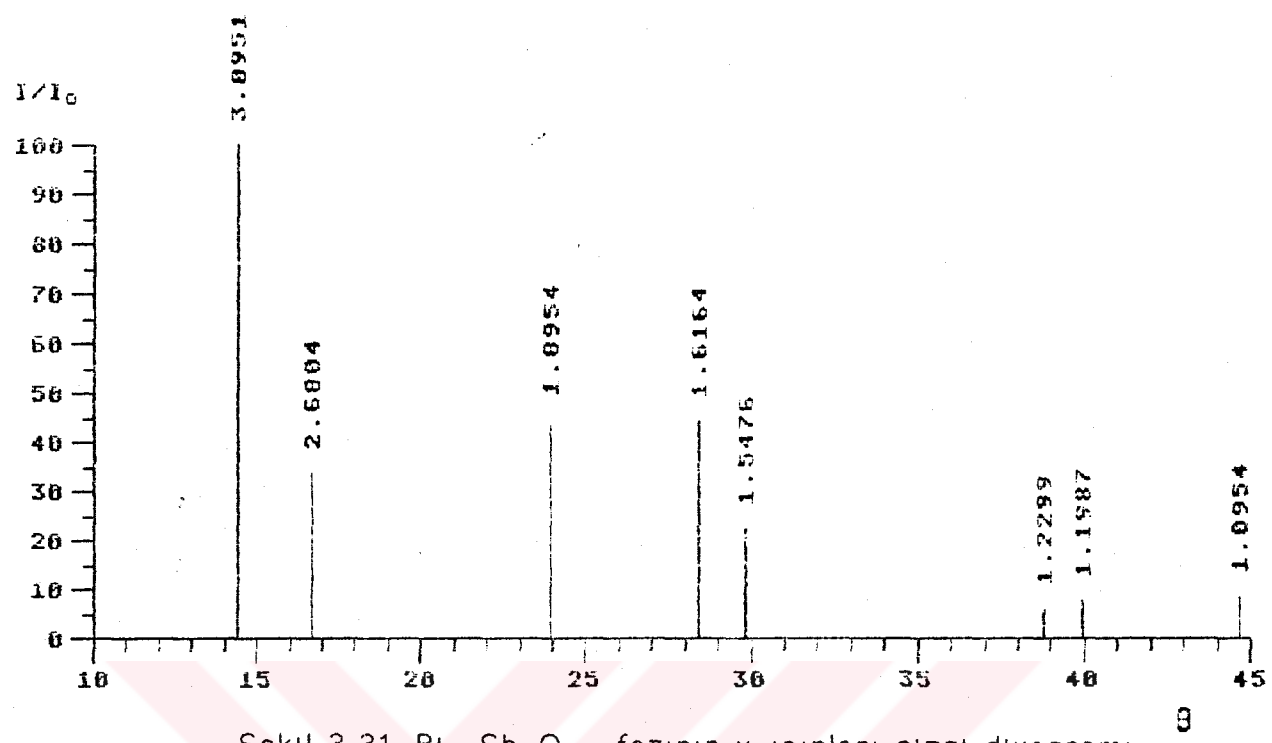
Sekil 3.28. $\text{Bi}_8\text{Sb}_5\text{O}_{22}$ fazının x-ışınları çizgi diyagramı



Sekil 3.29. $\text{Bi}_{8} \text{Sb}_{7} \text{O}_{26}$ fazının x-ışınları çizgi diyagramı



Sekil 3.30. $\text{Bi}_7 \text{Sb}_6 \text{O}_{21}$ fazının x-ışınları çizgi diyagramı



Sekil 3.31. $\text{Bi}_{14}\text{Sb}_4\text{O}_{29}$ fazının x-ışınları çizgi diyagramı

KAYNAKLAR

- [1] V.I. Lazukin, M. Ya. Rubanik ve arkadaşları, Katal. Katal. 1968, No. 4, 60-70 (Russ).
- [2] K. Ohdan, S. Umemura ve arkadaşları, Kogyo Kagaku Zasshi 1969 72(11), 2373-6 (Japan).
- [3] S. Ito, K. Kodaira ve arkadaşları, Yogyo Kyokaishi 1975, 83(8), 407-10 (Japan).
- [4] N.V. Stolchev, G.A. Alfintsev ve arkadaşları, Kristallografiya 1975, 20(4), 823-8 (Russ).
- [5] L.A. Ivanova ve arkadaşları, Fiz. Khim. Tverd. Tela 1975, 6, 36-40
- [6] V.B. Chrenogorenko, I.G. Donets ve arkadaşları, Ukr. Khim. Zh. (Russ. Ed.) 1977 43 (10), 1058-62 (Russ).
- [7] A.Tairi, M.Champarnaud ve arkadaşları Rev. Chim. Miner. 1985 22(5), 699-710.
- [8] M. Manier , J.P. Mercurio ve arkadaşları J. Phys., Colloq. 1986.
- [9] V.I.Popolitov, G.F.Platov , Izv .Akad. Nauk SSSR,Neorg. Mater 1987 , 23(12), 2037-9 (Russ).
- [10] W. Mielcarek, Conf.Appl. Crystallogr., 1984,11(2) 550-3 .
- [11] H.Kagawa , Jpn. Kokai Tokkyo Koho JP 61,163, 923, 1986 .
- [12] Handbook of Chemistry and Physics CRC Press 1977-1978 B-91 .
- [13] Powder Diffraction File Inorganic Phases, 1981 ,Cilt 1 , 53 (File No 5-533).
- [14] Handbook of Chemistry and Physics CRC Press 1977-1978 , B-95
- [15] Powder Diffraction File Inorganic Phases ,1981 , Cilt 1, 93 (File No 27-50) .